

МИНИСТЕРСТВО ОБРАЗОВАНИЯ И НАУКИ РФ

ФЕДЕРАЛЬНОЕ ГОСУДАРСТВЕННОЕ АВТОНОМНОЕ
ОБРАЗОВАТЕЛЬНОЕ УЧРЕЖДЕНИЕ ВЫСШЕГО ОБРАЗОВАНИЯ
“САНКТ-ПЕТЕРБУРГСКИЙ НАЦИОНАЛЬНЫЙ
ИССЛЕДОВАТЕЛЬСКИЙ УНИВЕРСИТЕТ
ИТМО”

ФАКУЛЬТЕТ СИСТЕМ УПРАВЛЕНИЯ И РОБОТОТЕХНИКИ

Лабораторная работа №3:
«Астатизмы»
по дисциплине Теория автоматического управления

Выполнил: Студент группы
R33362 Осинина Т. С
Преподаватель: Перегудин А.А.

Санкт-Петербург, 2022

Задание №1. Исследование задачи стабилизации с идеальным дифференцирующим звеном

Придумайте такие коэффициенты a_1 , a_2 и a_3 для системы вида:

$$a_1 \ddot{y} + a_2 \dot{y} + a_3 y = u,$$

чтобы она содержала хотя бы один неустойчивый полюс. Возьмите регулятор вида: $u = k_1 y + k_2 \dot{y}$ и задайте такие значения k_1 и k_2 , при которых замкнутая система будет устойчивой.

При построении схемы моделирования в качестве дифференцирующего звена используйте блок *SIMULINK Derivative*. Выполните моделирование с начальными условиями $y(0)$, $\dot{y}(0)$ отличными от нуля и постройте графики выхода разомкнутой и замкнутой системы.

Решение:

$$a_1 \ddot{y} + a_2 \dot{y} + a_3 y = u$$
$$W(s) = \frac{1}{a_1 s^2 + a_2 s + a_3}$$

Для того, чтобы найти система содержала один неустойчивый полюс, необходимо найти коэффициенты, при которых хотя бы один корень больше 0.

$$a_1 s^2 + a_2 s + a_3 = 0$$
$$D = a_2^2 - 4a_1 a_3$$
$$\lambda_1, \lambda_2 = \frac{-a_2 \pm \sqrt{a_2^2 - 4a_1 a_3}}{2a_1}$$

Пусть $a_1 = 1$, $a_2 = -2$, $a_3 = 5$, получаем:

$$\ddot{y} - 2\dot{y} + 5y = 0$$
$$D = 4 - 20 = -16 \Rightarrow \sqrt{D} = \pm 4i$$
$$\lambda_1, \lambda_2 = \frac{-2 \pm 4i}{2} = -1 \pm 2i$$

Далее определим начальные условия:

$$y(t) = C_1 e^t \cdot \cos(2t) + C_2 e^t \cdot \sin(2t) \Rightarrow y(0) = C_1 \Rightarrow C_1 = 2, C_2 = 1$$
$$y(0) = 2$$

$$\dot{y}(0) = C_1 + 2C_2 \Rightarrow \dot{y}(0) = 2 - 3 = -1$$

Далее подбираем коэффициенты k_1 , k_2 , при которых замкнутая система будет устойчивой:

$$\ddot{y} - 2\dot{y} + 5y = u$$
$$\ddot{y} - 2\dot{y} + 5y = k_1 y + k_2 \dot{y}$$
$$\ddot{y} + (-2 - k_2)\dot{y} + (5 - k_1)y = 0$$

По следствию Гурвица для уравнения второго порядка устанавливаем условия для коэффициентов:

$$\begin{cases} -2 - k_2 > 0 \\ 5 - k_1 > 0 \end{cases} \Rightarrow \begin{cases} k_2 < -2 \\ k_1 < 5 \end{cases}$$

Пусть $k_1 = 3, k_2 = -5$, тогда получим:

$$\ddot{y} + 3\dot{y} + 2y = 0$$

$$\lambda_1, \lambda_2 = \frac{-3 \pm 1}{2} = -2, -1$$

$\lambda_1 < 0, \lambda_2 < 0$, следовательно система устойчива

Далее определим начальные условия:

$$y(0) = 2$$

$$\dot{y}(0) = -C_1 - 2C_2 \Rightarrow \dot{y}(0) = -1$$

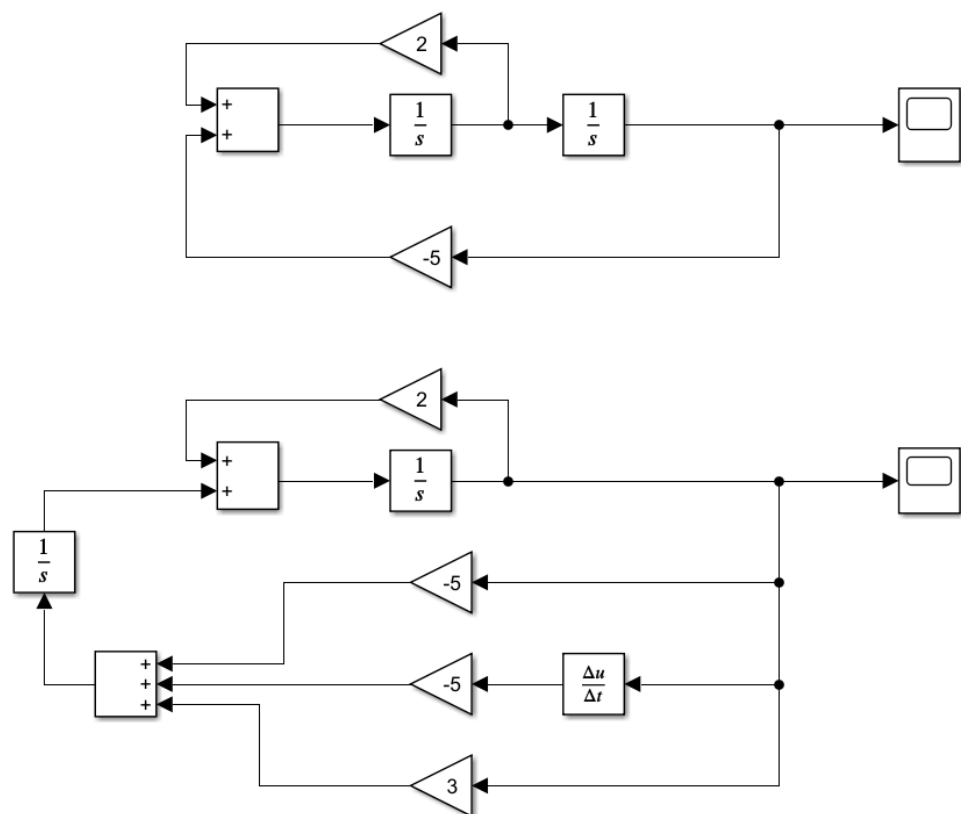


Рисунок 1. Схема моделирования замкнутой и разомкнутой системы

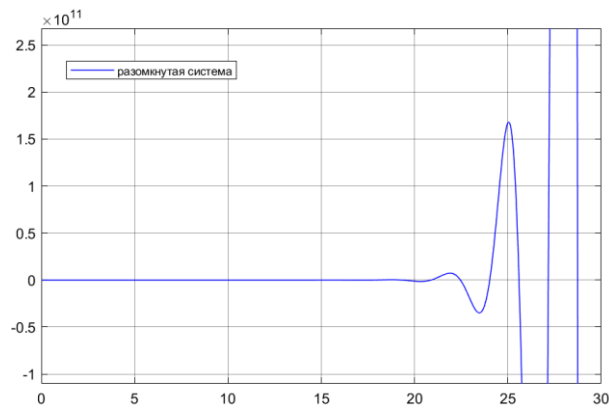


Рисунок 2. Зависимость $y(t)$ при разомкнутой системе

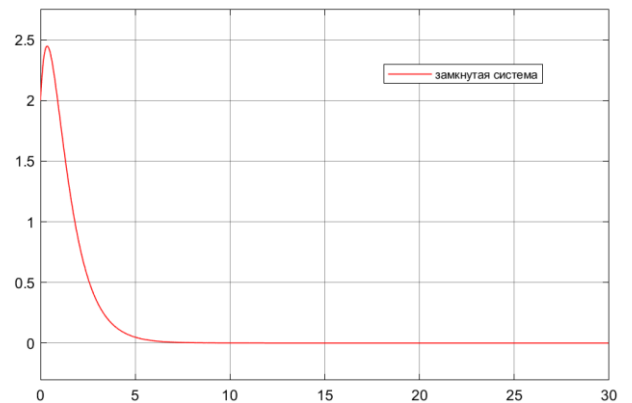


Рисунок 3. Зависимость $y(t)$ при замкнутой системе

Вывод: подобрали коэффициенты k_1, k_2 верно, так как по графику видно, что разомкнутая системы неустойчива, а при значениях $k_1 = 3$ и $k_2 = -5$ замкнутая система устойчива.

Задание 2. Исследование задачи стабилизации с реальным дифференцирующим звеном

Измените схему из предыдущего пункта, заменив блок *Derivative* на передаточную функцию вида:

$$\frac{p}{T p + 1}$$

Исследуйте влияние параметра T на устойчивость системы. Также по желанию вы можете найти аналитически критическое значение этого параметра, при котором система становится неустойчивой.

Решение:

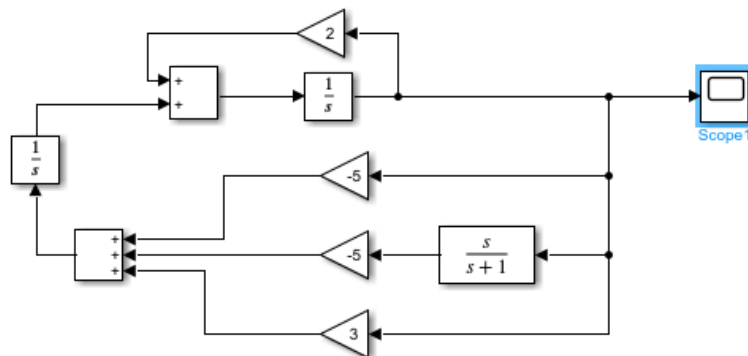


Рисунок 4. Схема моделирования при передаточную функцию вида: $\frac{p}{T p + 1}$, при $T=1$

При $T \geq 1$:

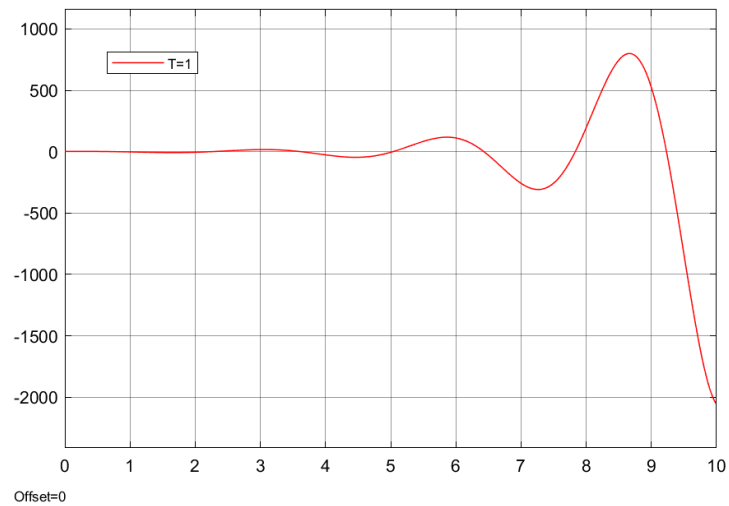


Рисунок 5. Зависимость $y(t)$ при $T=1$

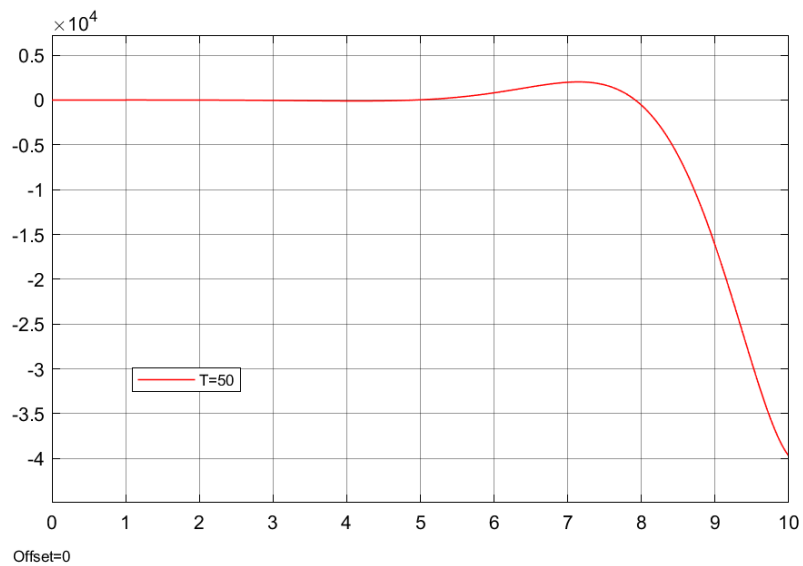


Рисунок 6. Зависимость $y(t)$ при $T=50$

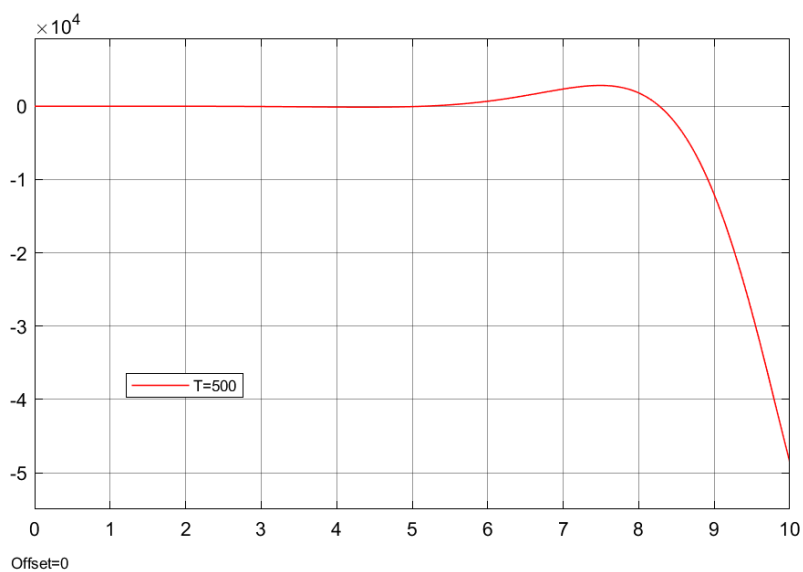


Рисунок 7. Зависимость $y(t)$ при $T=500$

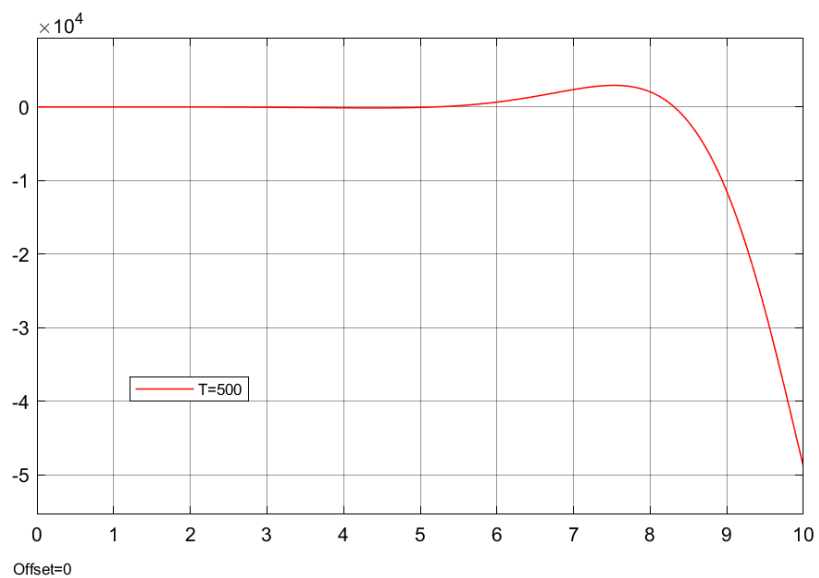


Рисунок 8. Зависимость $y(t)$ при $T=5000$

При $T < 0$:

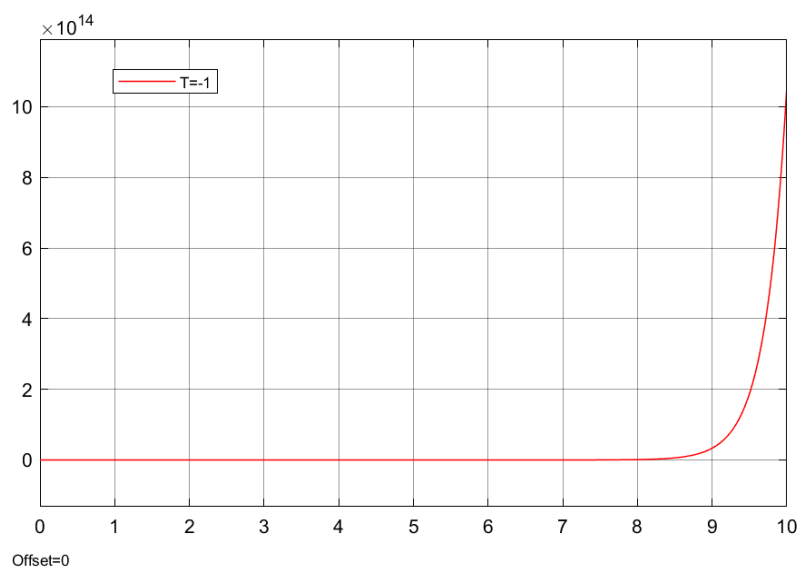


Рисунок 9. Зависимость $y(t)$ при $T=-1$

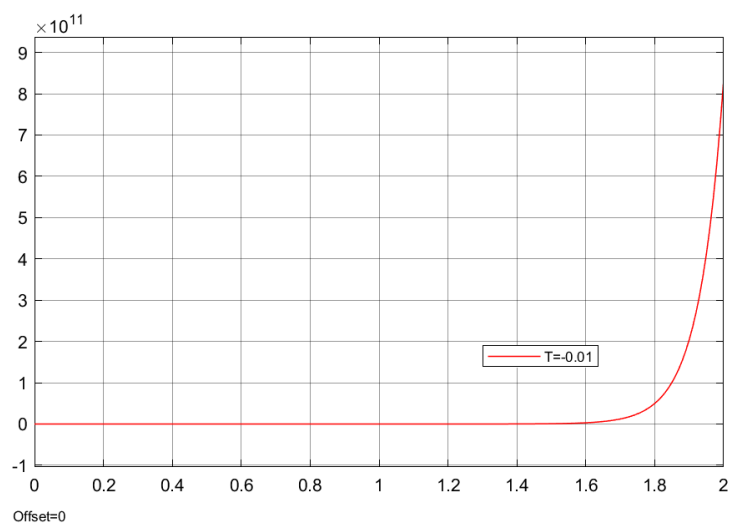


Рисунок 10. Зависимость $y(t)$ при $T=-0.1$

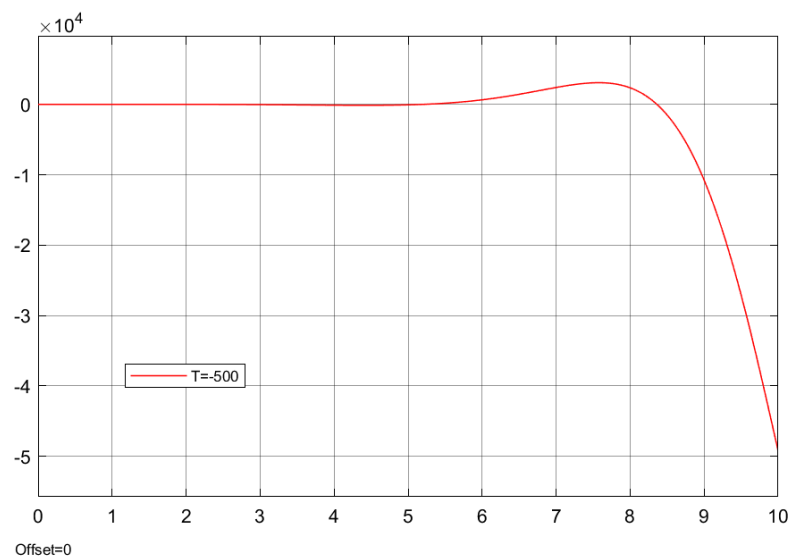


Рисунок 11. Зависимость $y(t)$ при $T=-500$

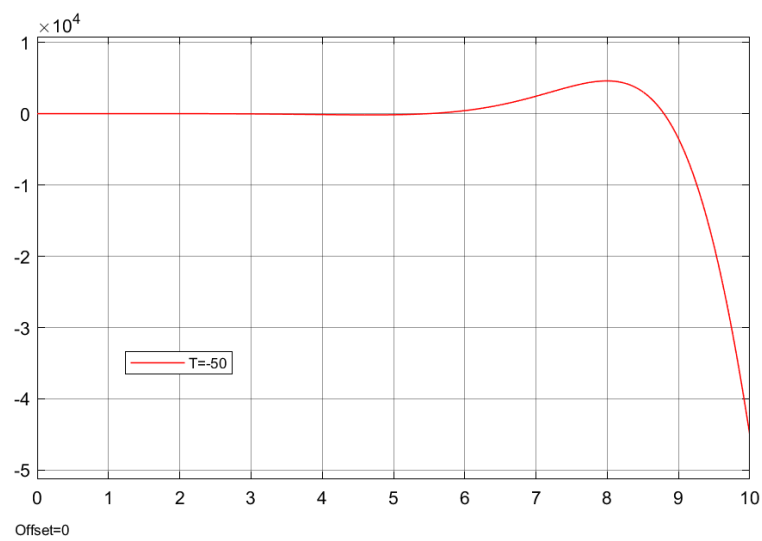


Рисунок 12. Зависимость $y(t)$ при $T=-50$

$1 > T > 0$:

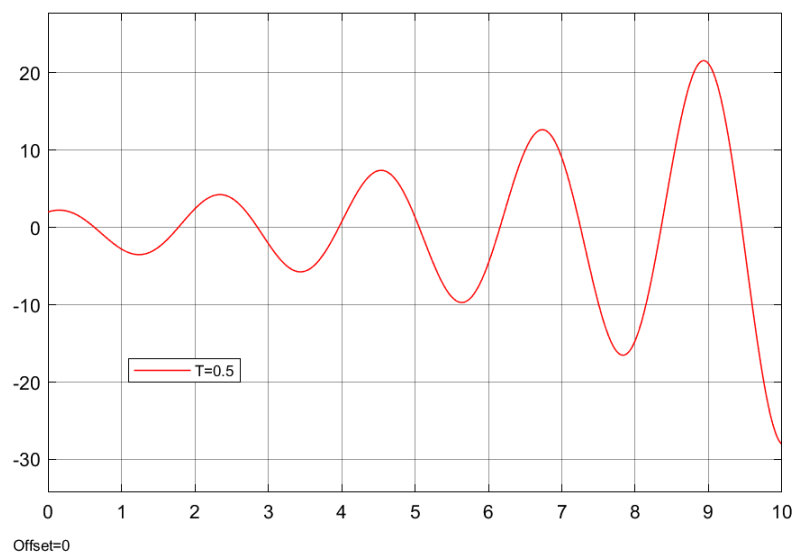


Рисунок 13. Зависимость $y(t)$ при $T=0.5$

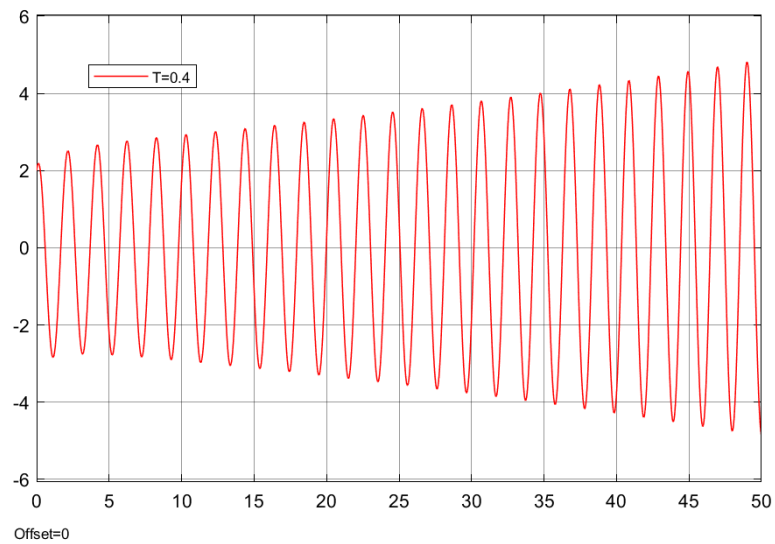


Рисунок 14. Зависимость $y(t)$ при $T=0.4$

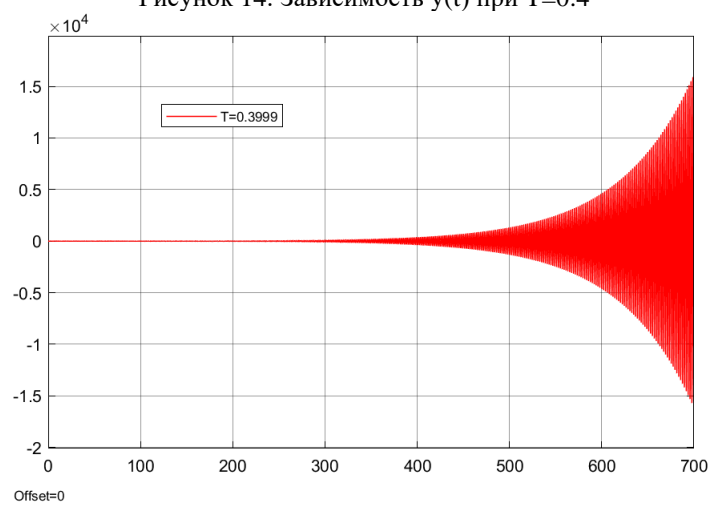


Рисунок 15. Зависимость $y(t)$ при $T=0.3999$

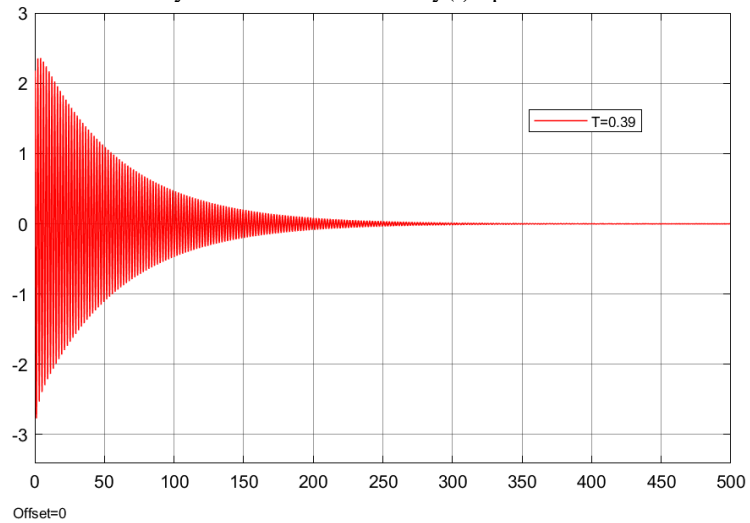


Рисунок 16. Зависимость $y(t)$ при $T=0.39$

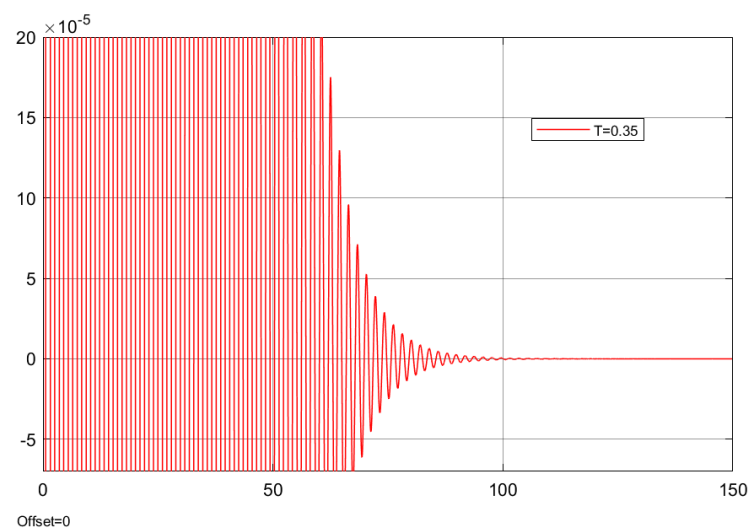


Рисунок 17. Зависимость $y(t)$ при $T=0.35$

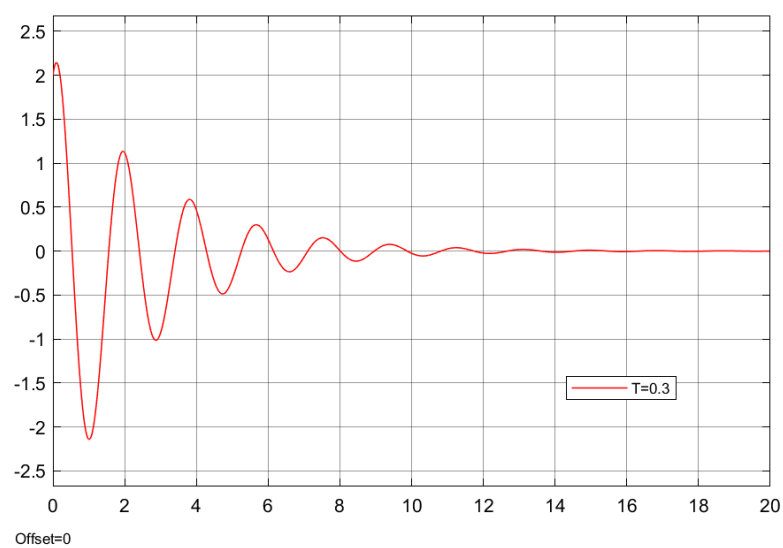


Рисунок 18. Зависимость $y(t)$ при $T=0.3$

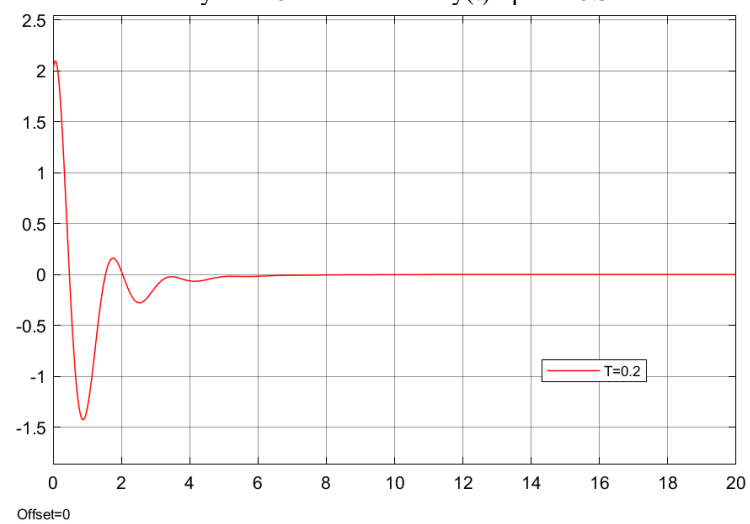


Рисунок 19. Зависимость $y(t)$ при $T=0.2$

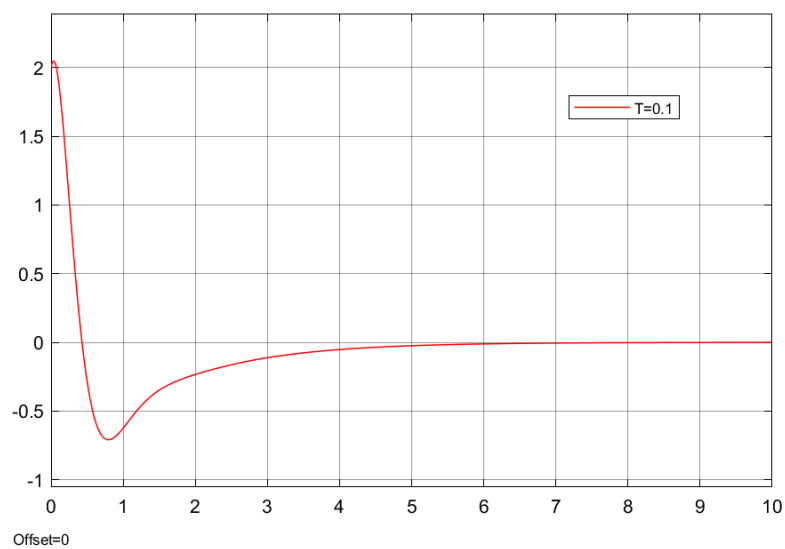


Рисунок 20. Зависимость $y(t)$ при $T=0.1$

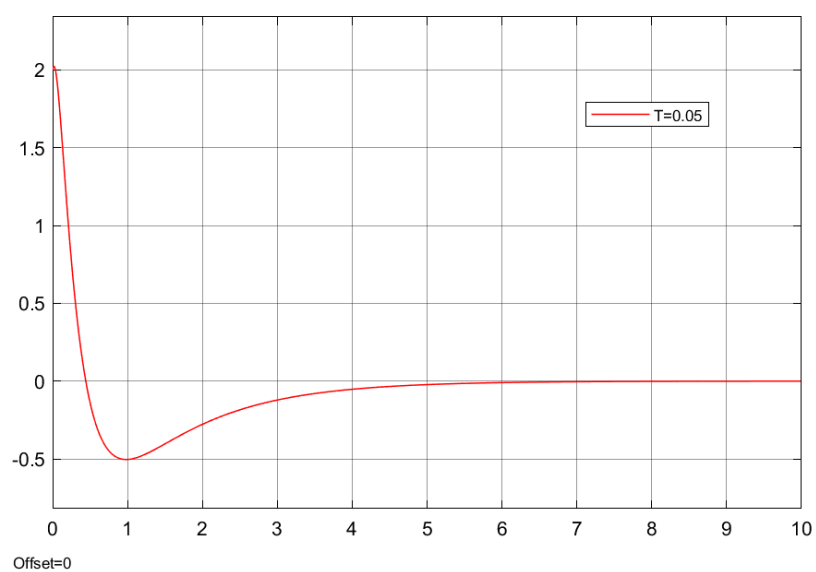


Рисунок 21. Зависимость $y(t)$ при $T=0.05$

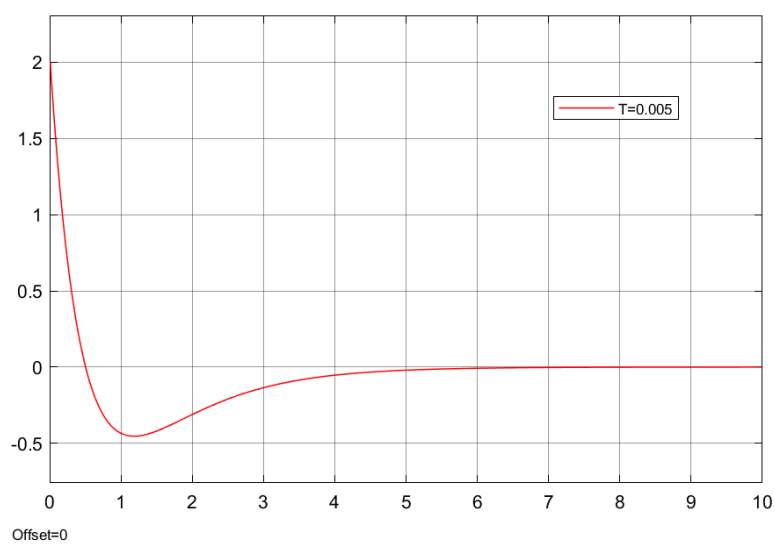


Рисунок 22. Зависимость $y(t)$ при $T=0.005$

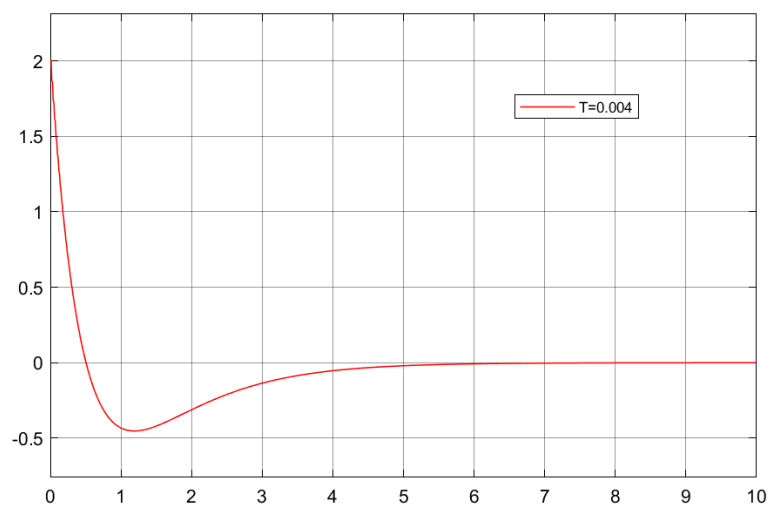


Рисунок 23. Зависимость $y(t)$ при $T=0.004$

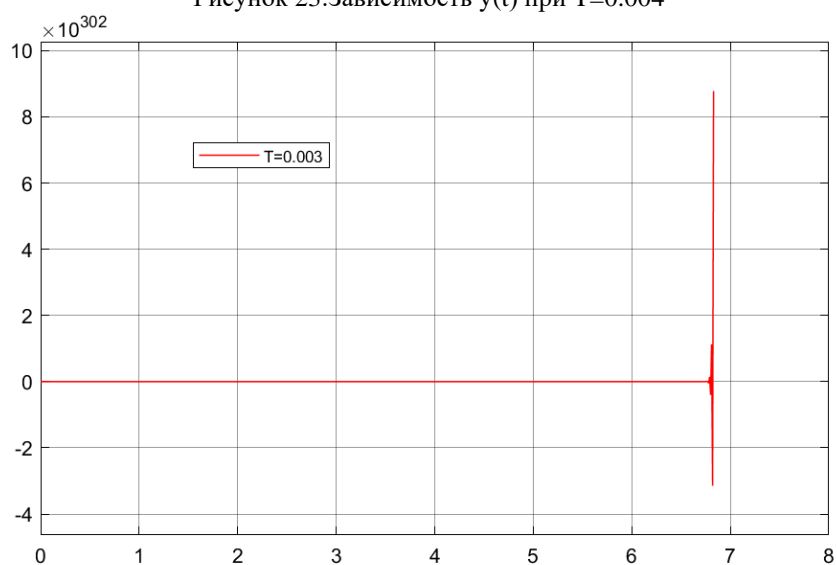


Рисунок 24. Зависимость $y(t)$ при $T=0.003$

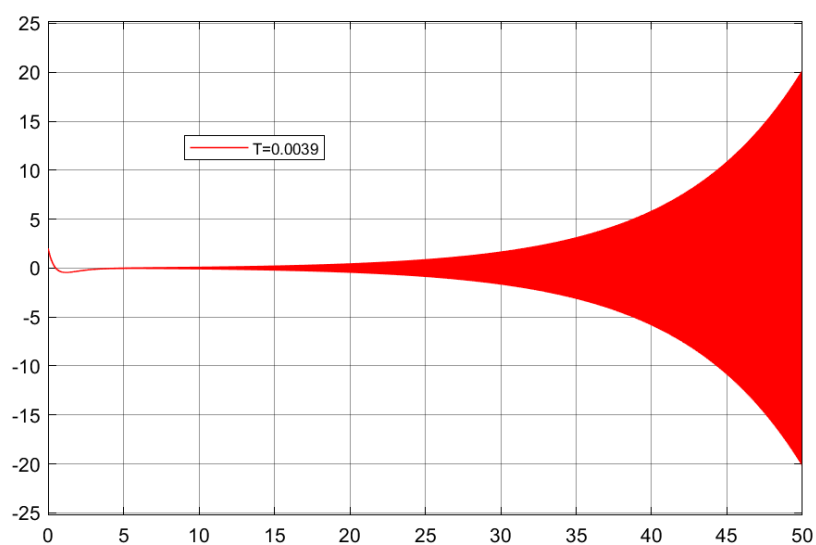


Рисунок 25. Зависимость $y(t)$ при $T=0.0039$

Вывод: анализируя графики, можно заметить, что система неустойчива при $0 > T > 0.39$, а также $T < 0.004$. Система устойчива при $0.004 \leq T \leq 0.39$.

Задание 3. Исследование влияния шума.

Исследуйте влияние шума на работоспособность замкнутой системы с идеальным и реальным дифференцирующими звеньями. Для этого добавьте шум к входам передаточных функций регуляторов каждой из систем предыдущих пунктов. Для генерации шума используйте блок Band-Limited White Noise со следующими параметрами: noise power = 0.01 и sample time = 0.01. Сравните выходы систем и сделайте вывод о поведении дифференцирующего звена при наличии шума. Исследуйте влияние параметра T на чувствительность системы, замкнутой реальным дифференцирующим звеном, к шуму.

Решение:

Сначала проведем исследование влияние шума на работоспособность замкнутой системы с идеальным дифференцирующим звеном.

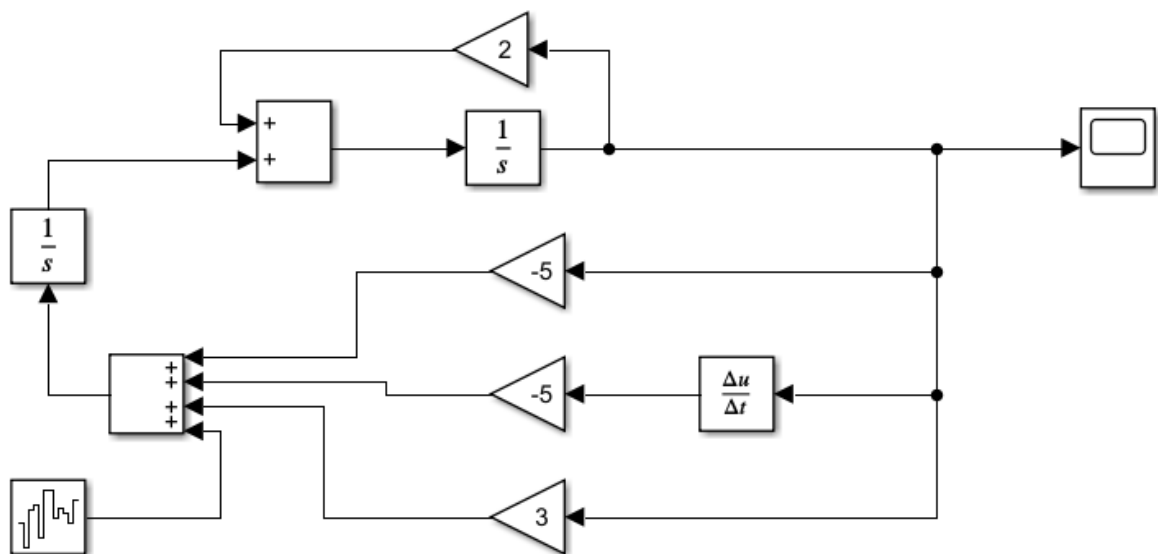


Рисунок 26. Схема моделирования системы с идеальным дифференцирующим звеном и с шумом.

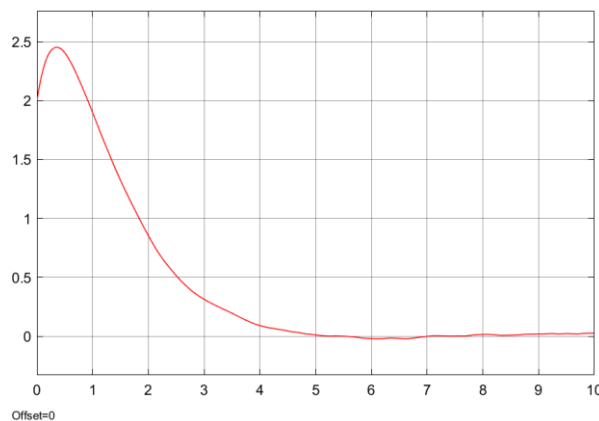


Рисунок 27. Зависимость системы $y(t)$ с шумом

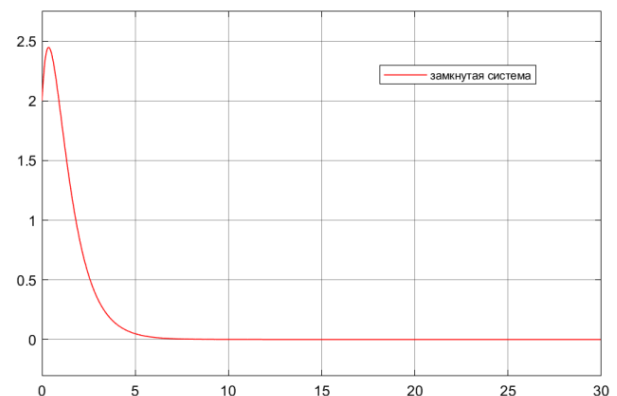


Рисунок 28. Зависимость системы $y(t)$ без шума

Вывод: анализируя графики Зависимость системы $y(t)$ с шумом и Зависимость системы $y(t)$ без шума, можно заметить, что система с шумом неустойчива.

Далее проведем исследование влияние шума на работоспособность замкнутой системы с реальным дифференцирующим звеном.

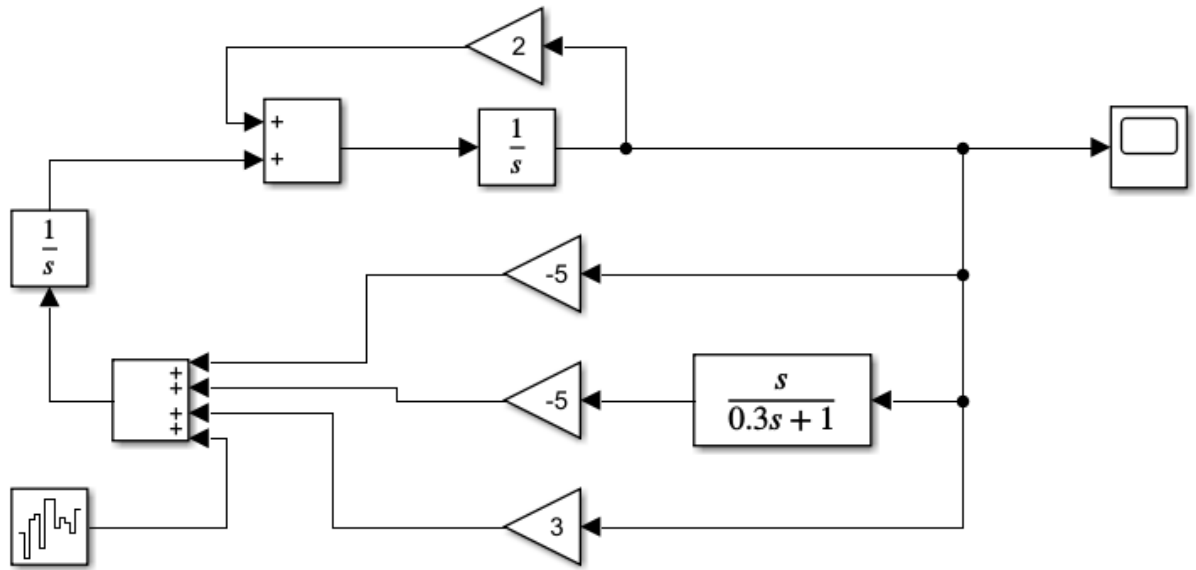


Рисунок 29. Схема моделирования системы с реальным дифференцирующим звеном и с шумом.

При $0 < T < 1$:

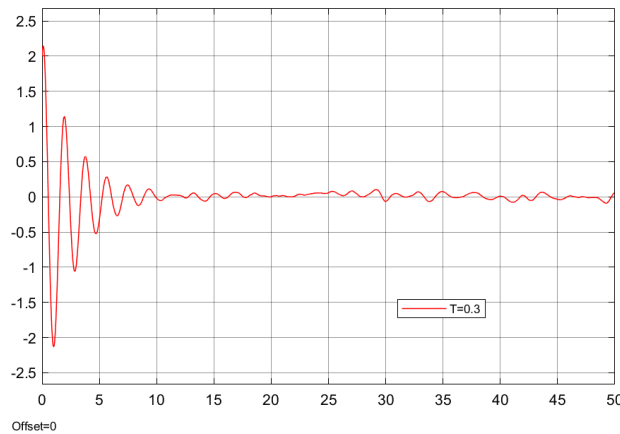


Рисунок 30. Зависимость системы $y(t)$ с шумом при $T = 0.3$

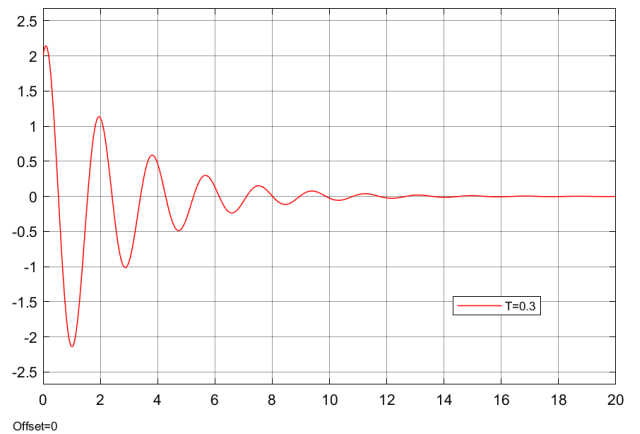


Рисунок 31. Зависимость системы $y(t)$ без шума при $T=0,3$

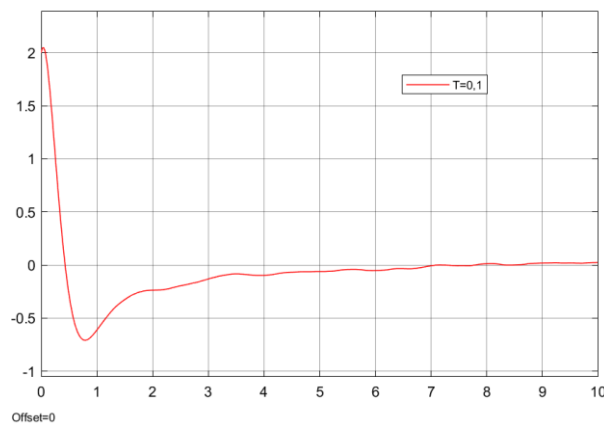


Рисунок 32. Зависимость системы $y(t)$ с шумом при $T = 0.1$

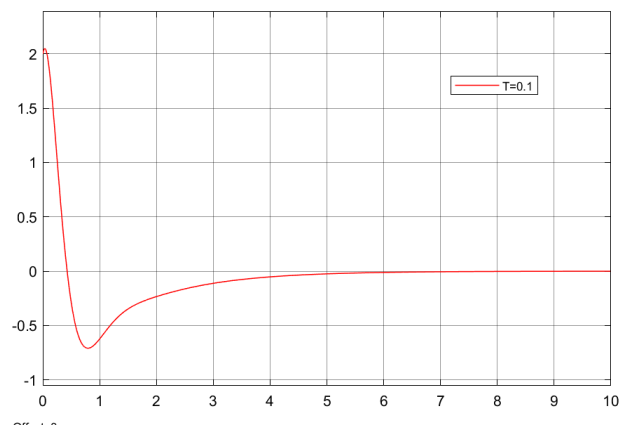


Рисунок 33. Зависимость системы $y(t)$ без шума при $T = 0.1$

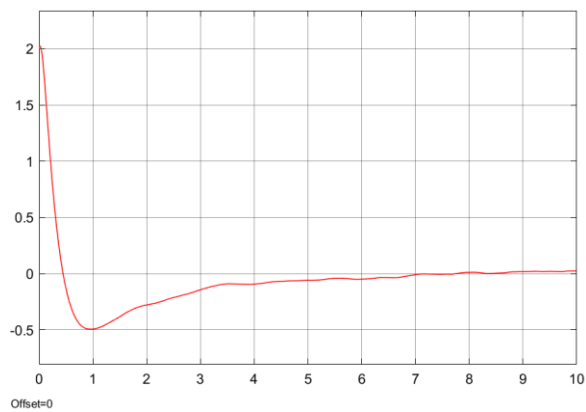


Рисунок 34. Зависимость системы $y(t)$ с шумом при $T = 0.05$

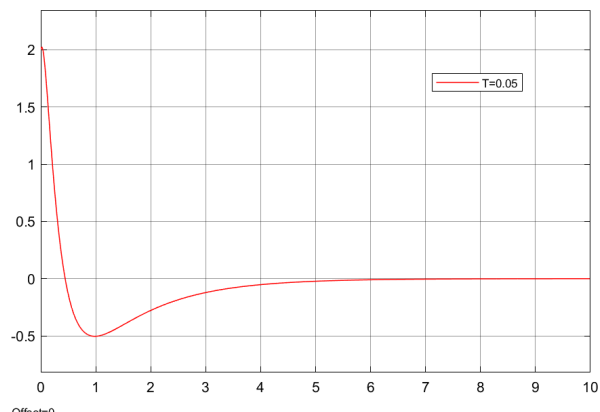


Рисунок 35. Зависимость системы $y(t)$ без шума при $T=0,05$

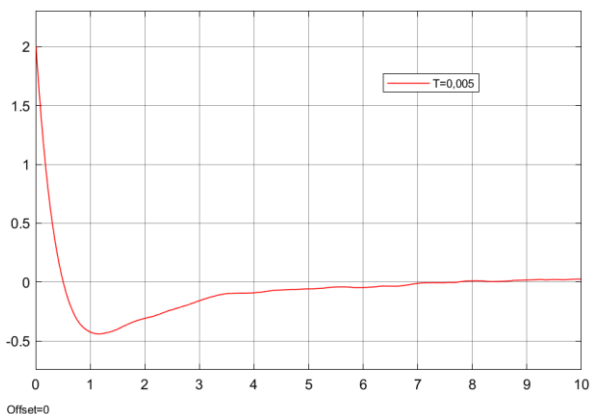


Рисунок 36. Зависимость системы $y(t)$ с шумом при $T=0,005$

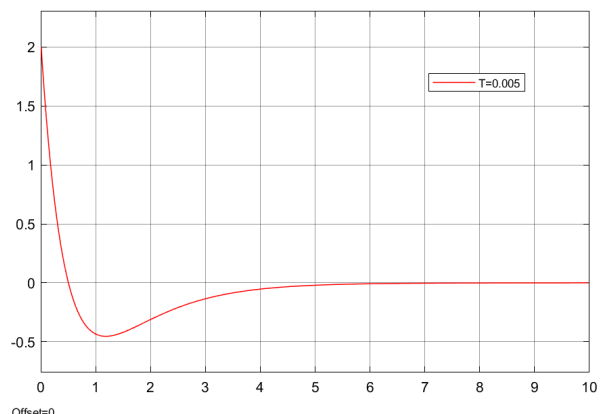


Рисунок 37. Зависимость системы $y(t)$ без шума при $T=0,005$

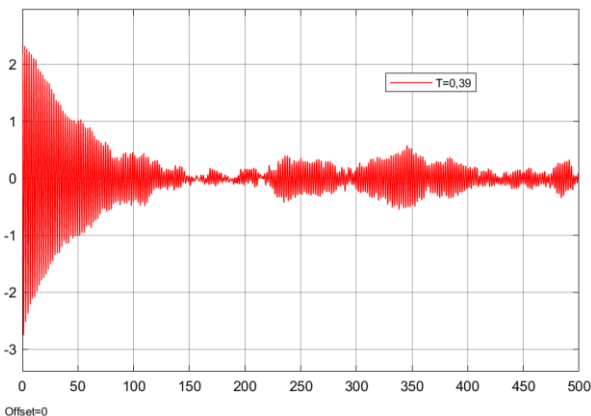


Рисунок 38. Зависимость системы $y(t)$ с шумом при $T=0,39$

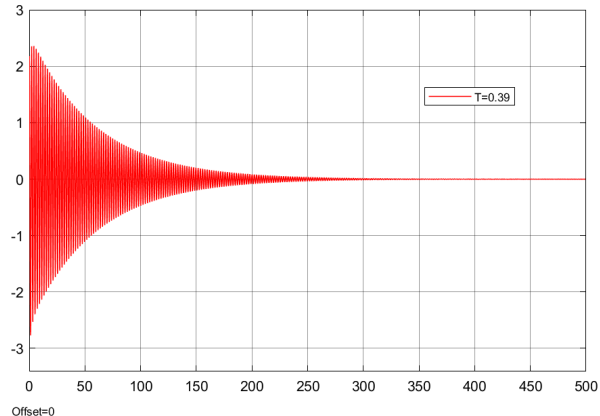


Рисунок 39. Зависимость системы $y(t)$ без шума при $T=0,39$

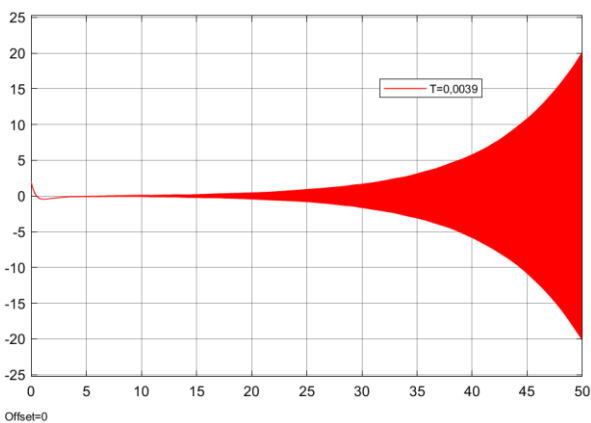


Рисунок 40. Зависимость системы $y(t)$ с шумом при $T=0,0039$

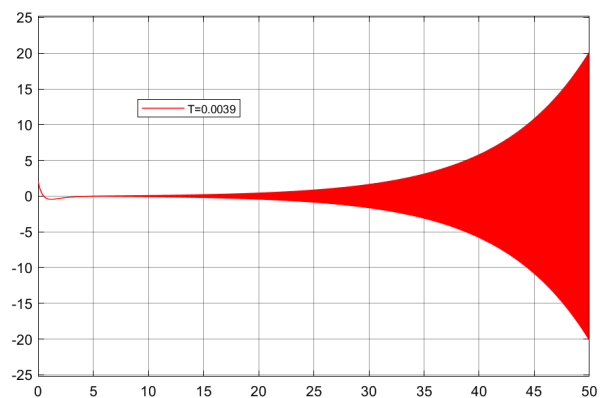


Рисунок 41. Зависимость системы $y(t)$ без шума при $T=0,0039$

При $T \geq 1$

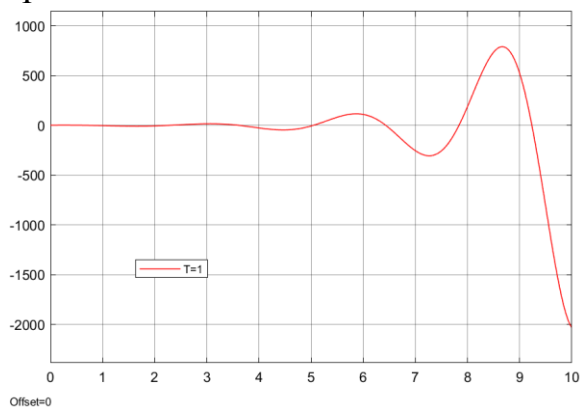


Рисунок 42. Зависимость системы $y(t)$ с шумом при $T=1$

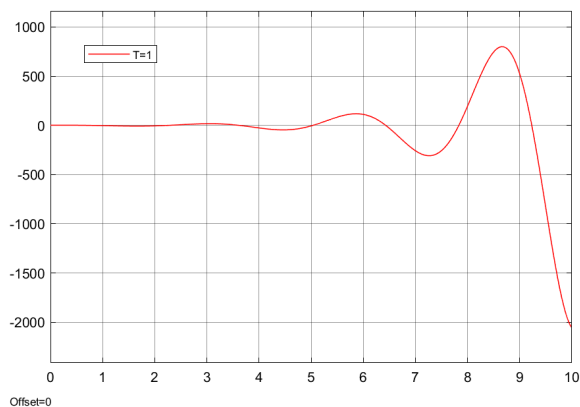


Рисунок 43. Зависимость системы $y(t)$ без шума при $T=1$

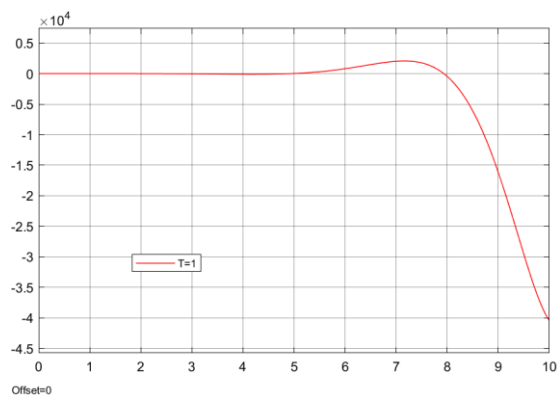


Рисунок 44. Зависимость системы $y(t)$ с шумом при $T = 50$

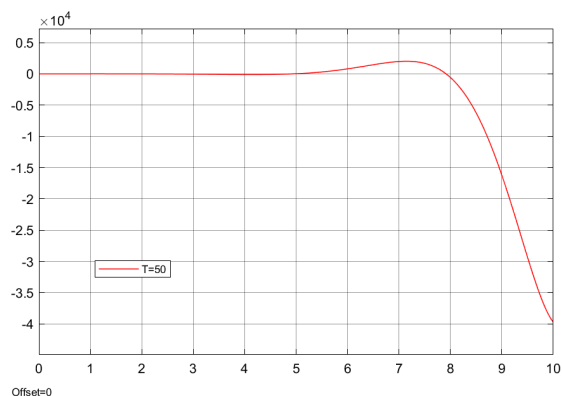


Рисунок 45. Зависимость системы $y(t)$ без шума при $T = 50$

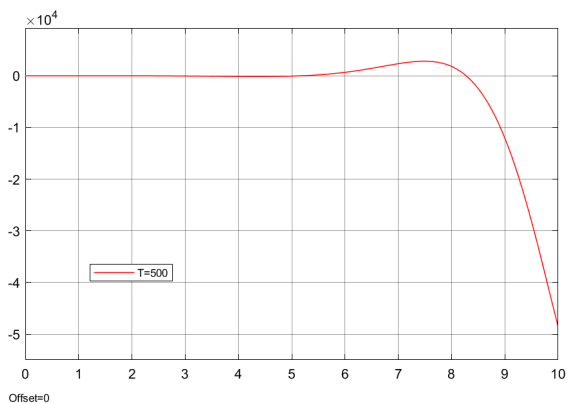


Рисунок 46. Зависимость системы $y(t)$ с шумом при $T = 500$

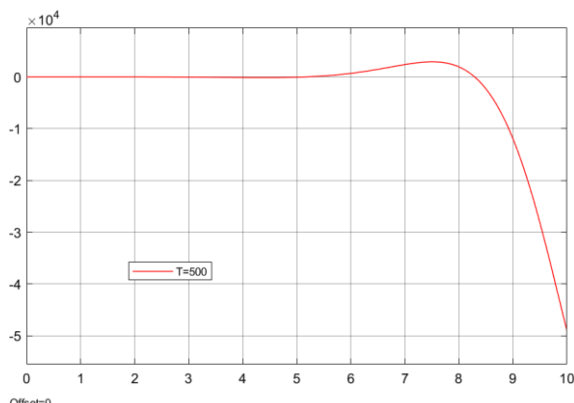


Рисунок 47. Зависимость системы $y(t)$ без шума при $T = 500$

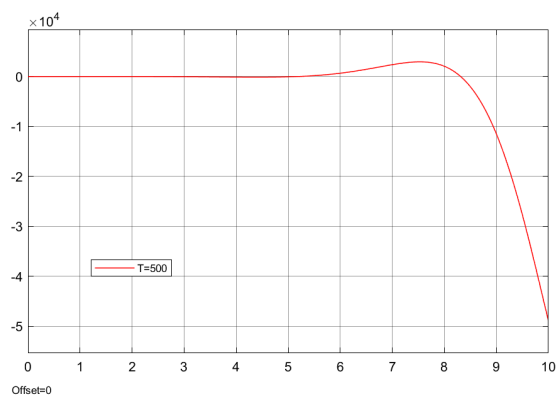


Рисунок 48. Зависимость системы $y(t)$ без шума при $T=5000$

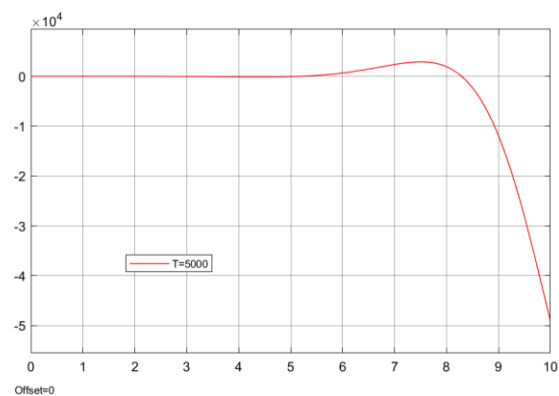


Рисунок 49. Зависимость системы $y(t)$ с шумом при $T=5000$

При $T < 0$

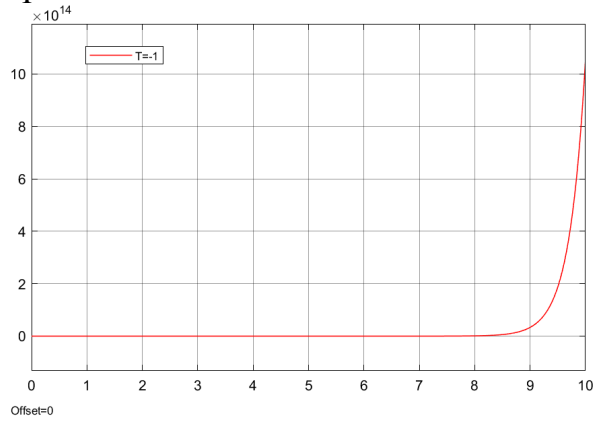


Рисунок 50. Зависимость $y(t)$ при $T=-1$ без шума

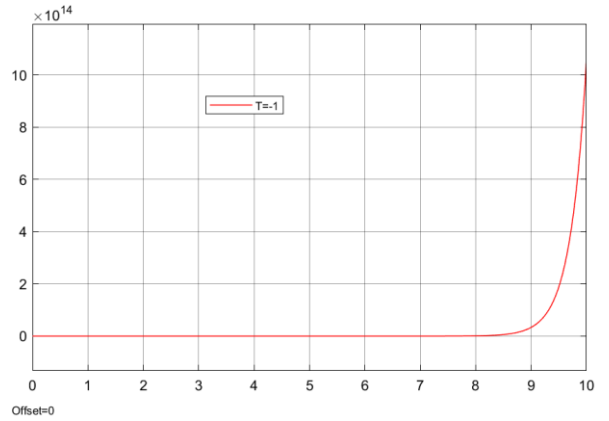


Рисунок 51. Зависимость $y(t)$ при $T=-1$ с шумом

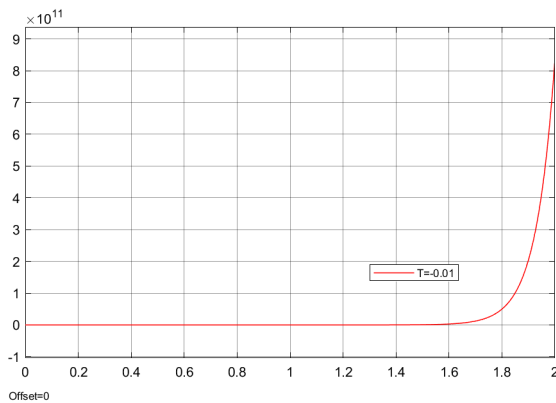


Рисунок 52. Зависимость $y(t)$ при $T=-0.1$ без шума

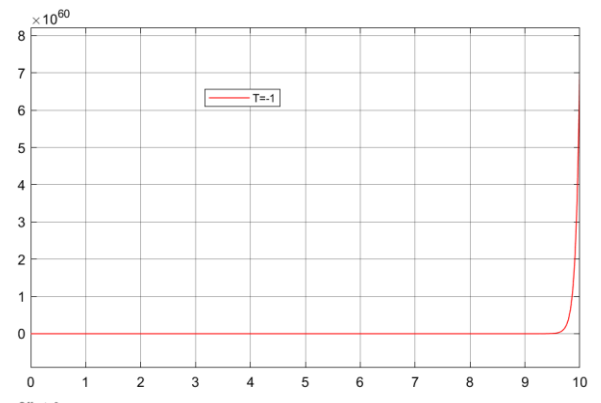


Рисунок 53. Зависимость $y(t)$ при $T=-0.1$ с шумом

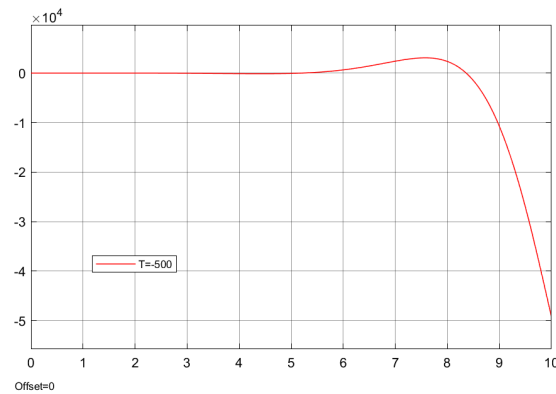


Рисунок 54. Зависимость $y(t)$ при $T=-500$ без шума

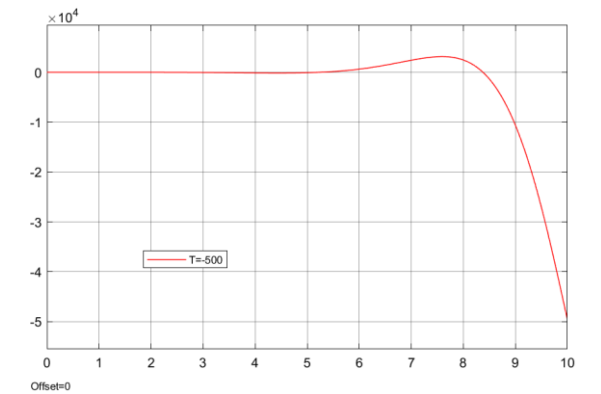


Рисунок 55. Зависимость $y(t)$ при $T=-500$ с шумом

Вывод: графики с шумом и без шума неустойчивой системы, т. е. при $T \geq 1$, $T < 0$, а также при $T > 0.004$ не отличаются. А при $0.004 \leq T \leq 0.39$ система стала неустойчивой при добавлении шума.

Задание 4. Исследование системы с астатизмом нулевого порядка.

Придумайте ненулевые коэффициенты a_1 , a_2 , b_1 и b_2 для передаточной функции объекта вида:

$$W(p) = \frac{b_1 p + b_2}{p^2 + a_1 p + a_2}$$

такие, чтобы система была устойчивой. Замкните систему П-регулятором вида:

$$W_{\text{рег}}(p) = k.$$

Исследуйте поведение системы в установившемся режиме при задающем воздействии $g(t) = \alpha$. Постройте графики переходных процессов для различных значений коэффициента регулятора k и определите значение установившейся ошибки ε . Исследуйте влияние значения коэффициента k на выход системы. Для задания значений k можно использовать слайдер.

Аналогично исследуйте режим движения с постоянной скоростью при задающем воздействии $g(t) = \beta t + \alpha$ и с синусоидальным воздействием вида $g(t) = \alpha \cdot \sin(\omega t + \varphi)$.

Решение:

Сначала подберем коэффициенты a_1 , a_2 , b_1 и b_2 , при которых система устойчива, для передаточной функции объекта вида:

$$W(p) = \frac{b_1 p + b_2}{p^2 + a_1 p + a_2}$$

$a_1 = 2$, $a_2 = 5$, $b_1 = 1$, $b_2 = 1$, тогда получаем:

$$W(p) = \frac{p + 1}{p^2 + 2p + 5}$$

Далее рассмотрим систему при коэффициентах: $k=5$, $k=10$, $k=20$, $k=100$.

Исследуем поведение системы в установившемся режиме при задающем воздействии $g(t) = 1$:

Для того, чтобы найти ошибку, находим образ Лапласа от $g(t)$, $G(s) = \frac{1}{s}$:

$$E(s) = W_{g \rightarrow e} \cdot G(s) = \frac{s^2 + 2s + 5}{s^2 + 7s + 10} \cdot \frac{1}{s}, \text{ где } W_{g \rightarrow e} = \frac{1}{W(s)+1} = \frac{s^2 + 2s + 5}{s^2 + 7s + 10}$$

$$e = \lim_{s \rightarrow 0} s \cdot E(s) = \lim_{s \rightarrow 0} \left(\frac{s^2 + 2s + 5}{s^2 + 7s + 10} \right) = \frac{5}{10} = 0,5$$

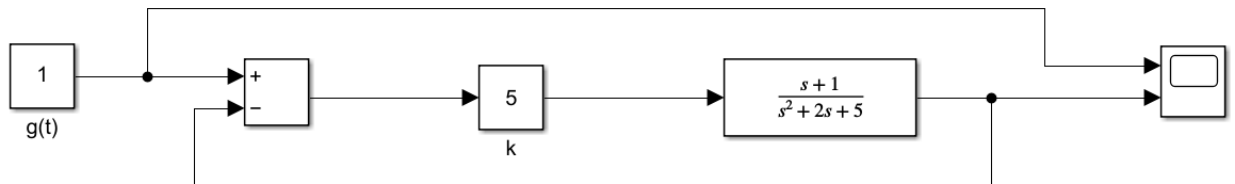


Рисунок 56. Схема моделирования

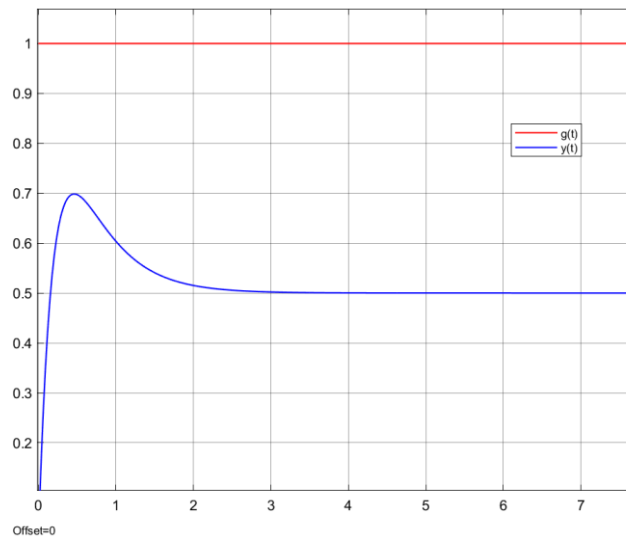


Рисунок 57. График входа и выхода при $k=5$

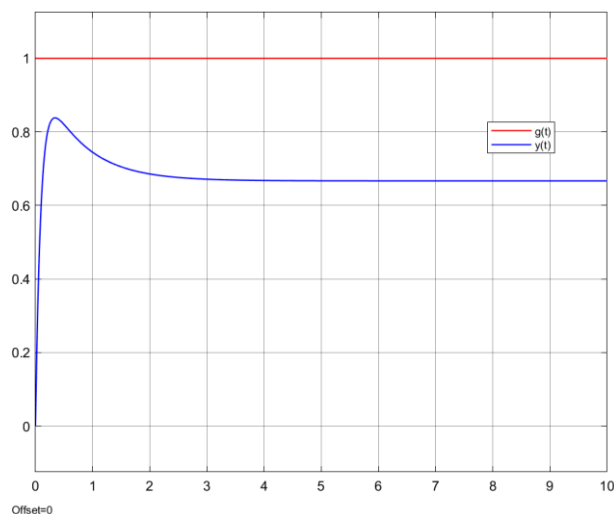


Рисунок 58. График входа и выхода при $k=10$

$$e = \lim_{s \rightarrow 0} s \cdot E(s) = \lim_{s \rightarrow 0} \left(\frac{s^2 + 2s + 5}{s^2 + 12s + 15} \right) = \frac{5}{15} = 0,33$$

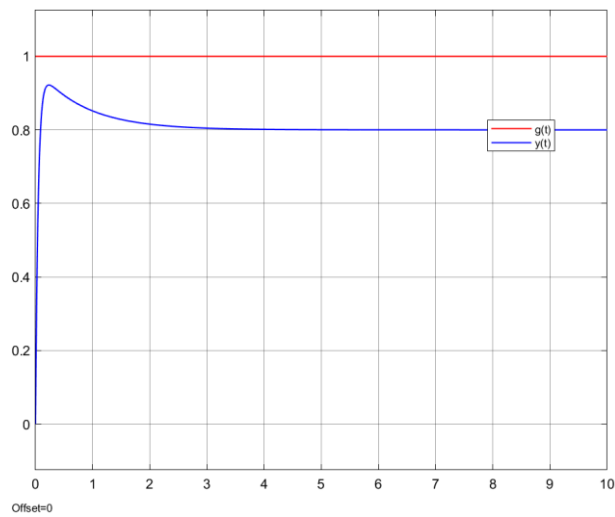


Рисунок 59. График входа и выхода при k=20

$$e = \lim_{s \rightarrow 0} s \cdot E(s) = \lim_{s \rightarrow 0} \left(\frac{s^2 + 2s + 5}{s^2 + 22s + 25} \right) = \frac{5}{25} = 0,2$$

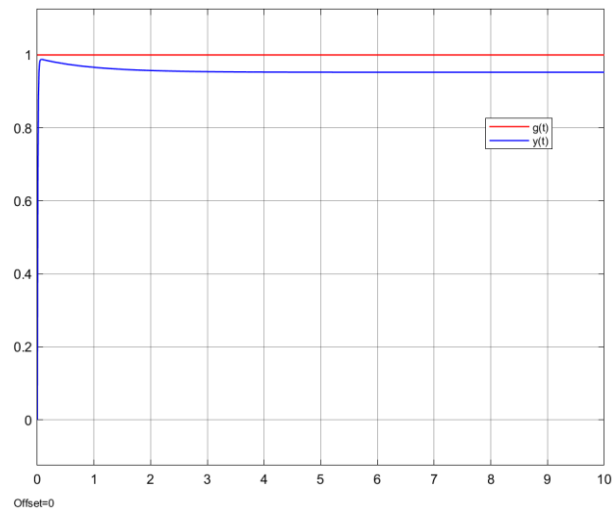


Рисунок 60. График входа и выхода при k=100

$$e = \lim_{s \rightarrow 0} s \cdot E(s) = \lim_{s \rightarrow 0} \left(\frac{s^2 + 2s + 5}{s^2 + 102s + 105} \right) = \frac{5}{105} = 0,048$$

Исследуем поведение системы в установившемся режиме при задающем воздействии $g(t) = t + 1$:

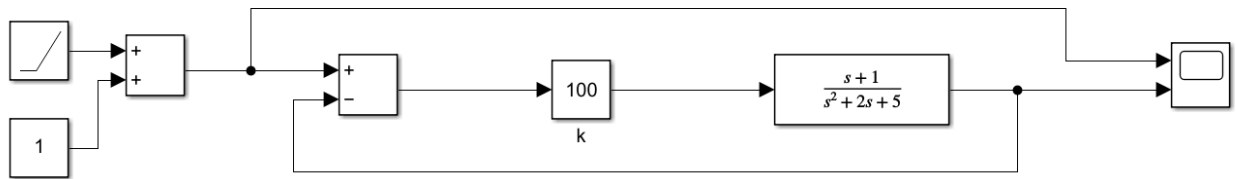


Рисунок 61. Схема моделирования

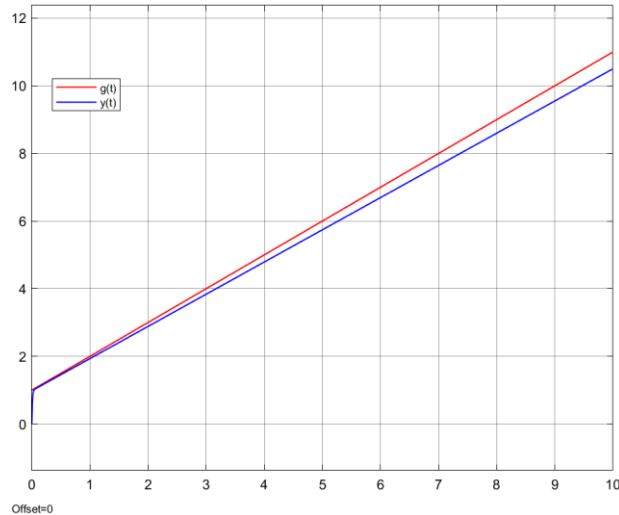


Рисунок 62. График входа и выхода при k=100

Для того, чтобы найти ошибку, находим образ Лапласа от $g(t)$, $G(s) = \frac{1+s}{s^2}$:

$$E(s) = W_{g \rightarrow e} \cdot G(s) = \frac{s^3 + 3s^2 + 7s + 5}{s^2 + 102s + 105} \cdot \frac{1}{s^2}, \text{ где } W_{g \rightarrow e} = \frac{1}{W(s)+1} = \frac{s^2 + 2s + 5}{s^2 + 102s + 105}$$

$$e = \lim_{s \rightarrow 0} s \cdot E(s) = \lim_{s \rightarrow 0} \left(\frac{s^3 + 3s^2 + 7s + 5}{s^3 + 102s^2 + 105s} \right) = +\infty$$

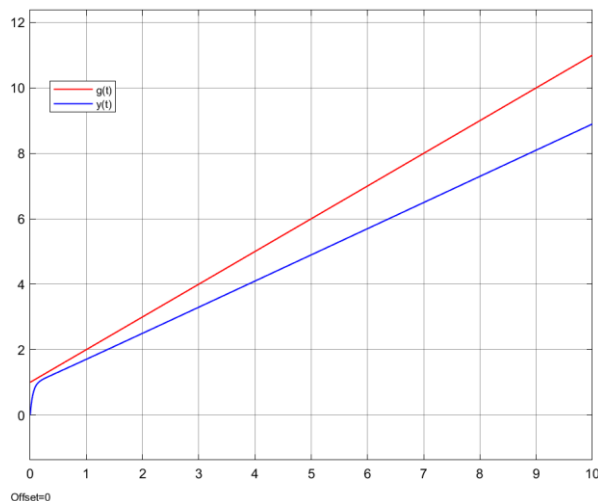


Рисунок 63. График входа и выхода при k=20

$$e = \lim_{s \rightarrow 0} s \cdot E(s) = \lim_{s \rightarrow 0} \left(\frac{s^3 + 3s^2 + 7s + 5}{s^3 + 22s^2 + 25s} \right) = +\infty$$

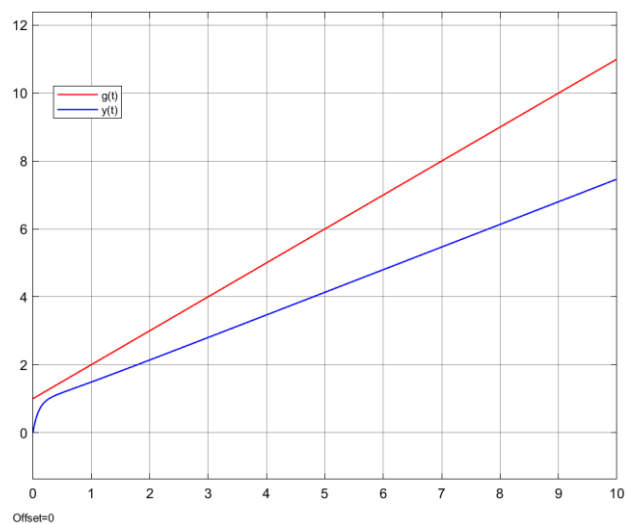


Рисунок 64. График входа и выхода при k=10

$$e = \lim_{s \rightarrow 0} s \cdot E(s) = \lim_{s \rightarrow 0} \left(\frac{s^3 + 3s^2 + 7s + 5}{s^3 + 12s^2 + 15s} \right) = +\infty$$

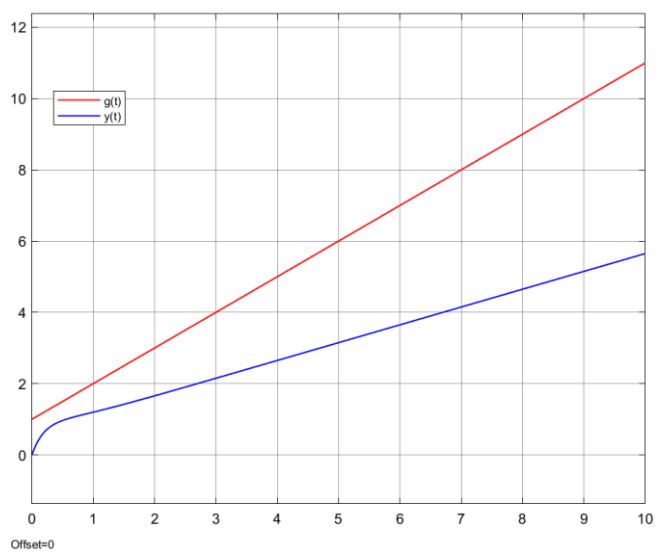


Рисунок 65. График входа и выхода при k=5

$$e = \lim_{s \rightarrow 0} s \cdot E(s) = \lim_{s \rightarrow 0} \left(\frac{s^3 + 3s^2 + 7s + 5}{s^3 + 7s^2 + 10s} \right) = +\infty$$

Исследуем поведение системы в установившемся режиме при задающем воздействии $g(t) = 3 \cdot \sin(2t + 1)$:

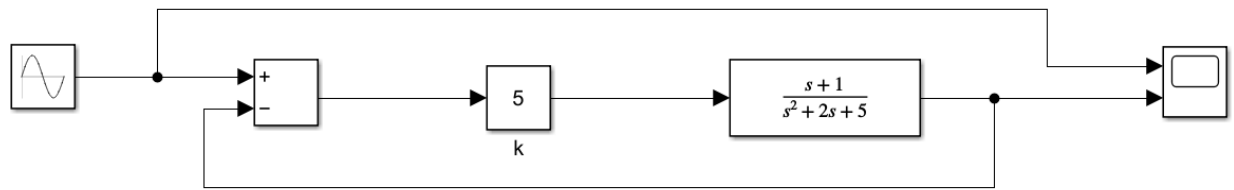


Рисунок 66. Схема моделирования

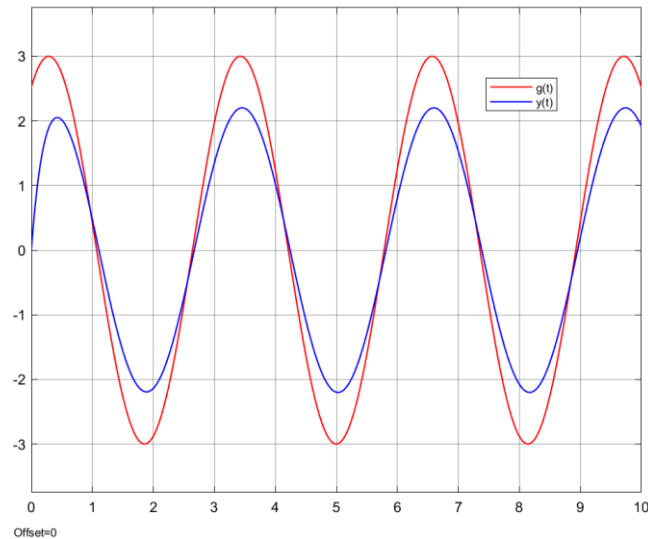


Рисунок 67. График входа и выхода при k=5

Находим образ Лапласа от $g(t)$, $G(s) = \frac{3(s \cdot \sin 1 + 2 \cdot \cos 1)}{s^2 + 4}$:

$$W_{g \rightarrow e} = \frac{1}{W(s) + 1} = \frac{s^2 + 4}{s^2 + 2s + 5}$$

$$E(s) = W_{g \rightarrow e} \cdot G(s) = \frac{s^2 + 4}{s^2 + 2s + 5} \cdot \frac{3(s \cdot \sin 1 + 2 \cdot \cos 1)}{s^2 + 4}, \text{ где}$$

$$e = \lim_{s \rightarrow 0} s \cdot E(s) = \lim_{s \rightarrow 0} \left(\frac{s^2 + 4}{s^2 + 2s + 5} \cdot \frac{3(s \cdot \sin 1 + 2 \cdot \cos 1)}{s^2 + 4} \cdot s \right) = 0$$

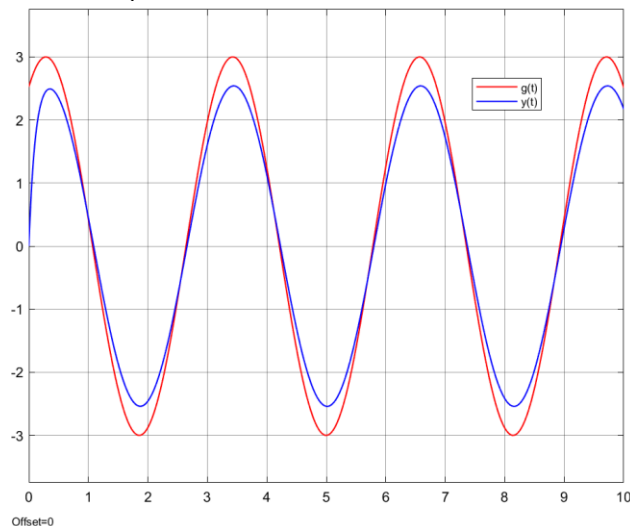


Рисунок 68. График входа и выхода при k=10

$$e = \lim_{s \rightarrow 0} s \cdot E(s) = \lim_{s \rightarrow 0} \left(\frac{s^2 + 4}{s^2 + 12s + 15} \cdot \frac{3(s \cdot \sin 1 + 2 \cdot \cos 1)}{s^2 + 4} \cdot s \right) = 0$$

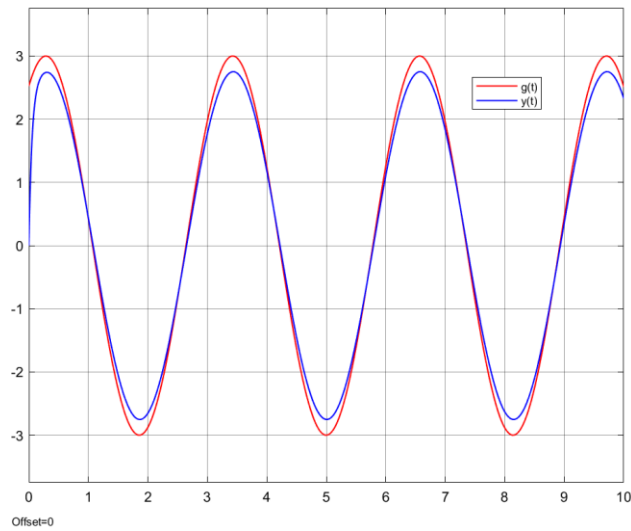


Рисунок 69. График входа и выхода при k=20

$$e = \lim_{s \rightarrow 0} s \cdot E(s) = \lim_{s \rightarrow 0} \left(\frac{s^2 + 2s + 5}{s^2 + 22s + 25} \cdot \frac{3(s \cdot \sin 1 + 2 \cdot \cos 1)}{s^2 + 4} \cdot s \right) = 0$$

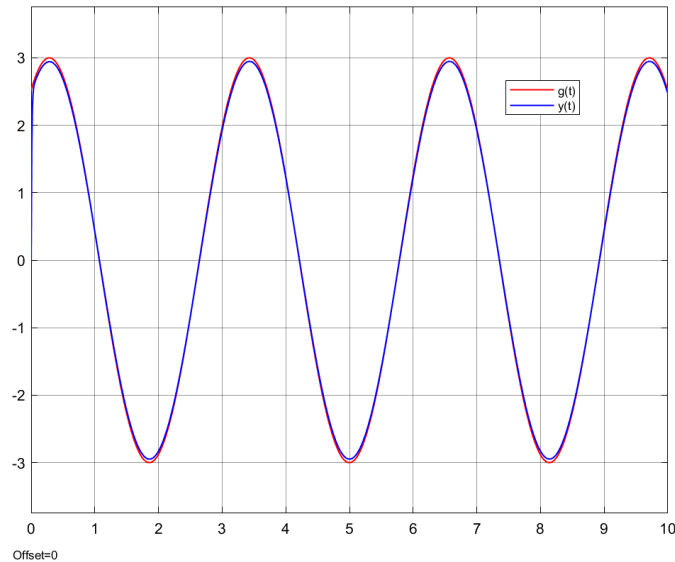


Рисунок 70. График входа и выхода при k=100

$$e = \lim_{s \rightarrow 0} s \cdot E(s) = \lim_{s \rightarrow 0} \left(\frac{s^2 + 2s + 5}{s^2 + 102s + 105} \cdot \frac{3(s \cdot \sin 1 + 2 \cdot \cos 1)}{s^2 + 4} \cdot s \right) = 0$$

Вывод: в данном задании исследовали систему с астатизмом нулевого порядка. При $g(t) = 1$ ошибка зависит от k, при увеличении k ошибка уменьшается. При $g(t) = t + 1$ графики входа и выхода расходятся, коэффициент k влияет на «быстроту» расхождения графиков, чем больше k, тем быстрее расходятся графики, ошибка равна бесконечности. При $g(t) = 3 \cdot \sin(2t + 1)$ ошибка равна 0, фаза не зависит от k, а амплитуда увеличивается с увеличением k.

Задание 5. Исследование системы с астатизмом первого порядка.

Придумайте ненулевые коэффициенты a_1 , a_2 , b_1 и b_2 для передаточной функции объекта вида:

$$W(p) = \frac{b_1 p + b_2}{p^2 + a_1 p + a_2}$$

такие, чтобы система была устойчивой. Замкните систему ПИ-регулятором вида:

$$W_{\text{рег}}(p) = k_1 + \frac{k_2}{p}$$

Исследуйте поведение системы в установившемся режиме при задающем воздействии $g(t) = \alpha$. Постройте графики переходных процессов для различных значений коэффициентов регулятора k_1 , k_2 и определите значение установившейся ошибки ε . Исследуйте влияние значения коэффициентов k_1 , k_2 на выход системы. Для задания значений k_1 , k_2 можно использовать слайдер.

Аналогично исследуйте режим движения с постоянной скоростью при задающем воздействии $g(t) = \beta t + \alpha$ и с синусоидальным воздействием вида $g(t) = \alpha \cdot \sin(\omega t + \varphi)$.

Решение:

Сначала подберем коэффициенты a_1 , a_2 , b_1 и b_2 , при которых система устойчива, для передаточной функции объекта вида:

$$W(p) = \frac{b_1 p + b_2}{p^2 + a_1 p + a_2}$$

$a_1 = 2$, $a_2 = 5$, $b_1 = 1$, $b_2 = 1$, тогда получаем:

$$W(p) = \frac{p + 1}{p^2 + 2p + 5}$$

Далее рассмотрим систему при коэффициентах: k_1 , k_2 из диапазона $[0; 50]$

Исследуем поведение системы в установившемся режиме при задающем воздействии $g(t) = 1$:

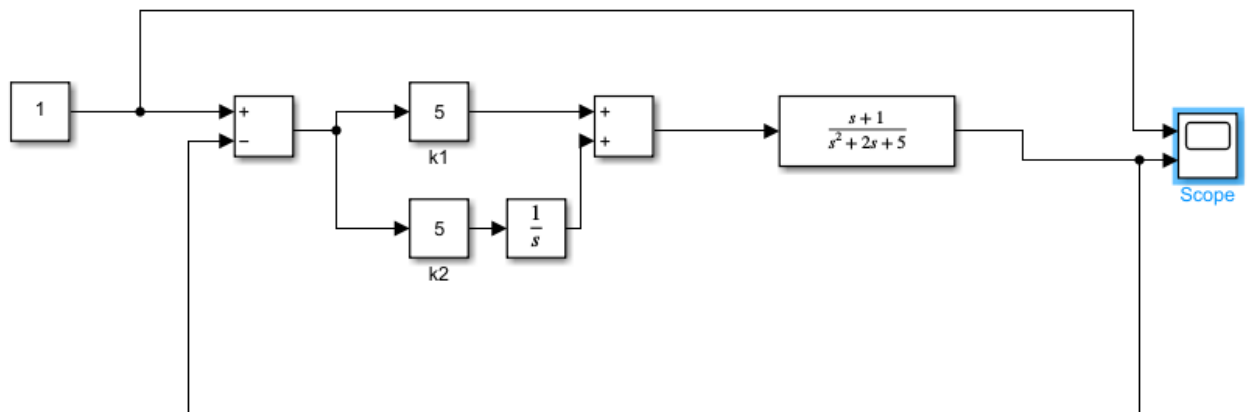


Рисунок 71. Схема моделирование с ПИ-регулятором

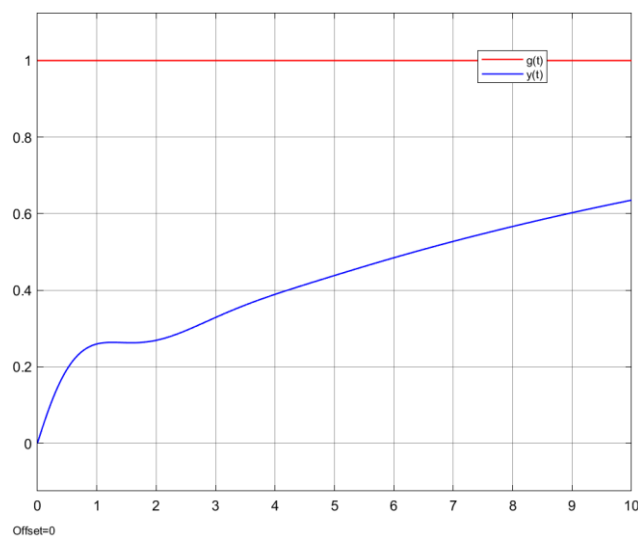


Рисунок 72. График входа и выхода при $k_1 = 0,5$, $k_2 = 0,5$

Для того, чтобы найти ошибку, находим образ Лапласа от $g(t)$, $G(s) = \frac{1}{s}$:

$$E(s) = W_{g \rightarrow e} \cdot G(s) = \frac{s^2 + 2s + 5}{s^2 + 7s + 10} \cdot \frac{1}{s},$$

$$\text{где } W_{g \rightarrow e} = \frac{1}{W(s)+1} = \frac{s^2 + 2s + 5}{k_1(1+\frac{1}{s}) + k_2(1+s) + s^2 + 2s + 5} = \frac{s^2 + 2s + 5}{0,5(1+\frac{1}{s}) + 0,5(1+s) + s^2 + 2s + 5}$$

$$e = \lim_{s \rightarrow 0} s \cdot E(s) = \lim_{s \rightarrow 0} \left(\frac{s^2 + 2s + 5}{0,5(1+\frac{1}{s}) + 0,5(1+s) + s^2 + 2s + 5} \right) = 0$$

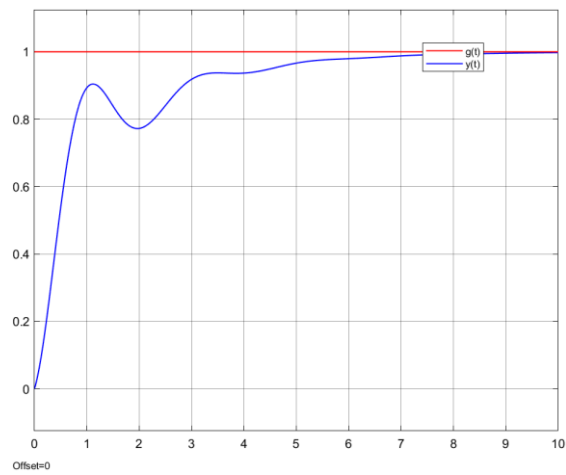


Рисунок 73. График входа и выхода при $k_1=0,5$, $k_2=5$

$$e = \lim_{s \rightarrow 0} s \cdot E(s) = \lim_{s \rightarrow 0} \left(\frac{s^2 + 2s + 5}{0,5(1 + \frac{1}{s}) + 5(1 + s) + s^2 + 2s + 5} \right) = 0$$

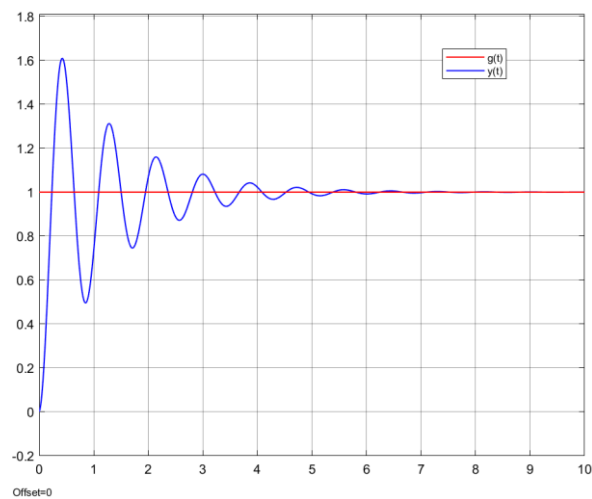


Рисунок 74. График входа и выхода при $k_1=0,5$, $k_2=50$

$$e = \lim_{s \rightarrow 0} s \cdot E(s) = \lim_{s \rightarrow 0} \left(\frac{s^2 + 2s + 5}{0,5(1 + \frac{1}{s}) + 50(1 + s) + s^2 + 2s + 5} \right) = 0$$

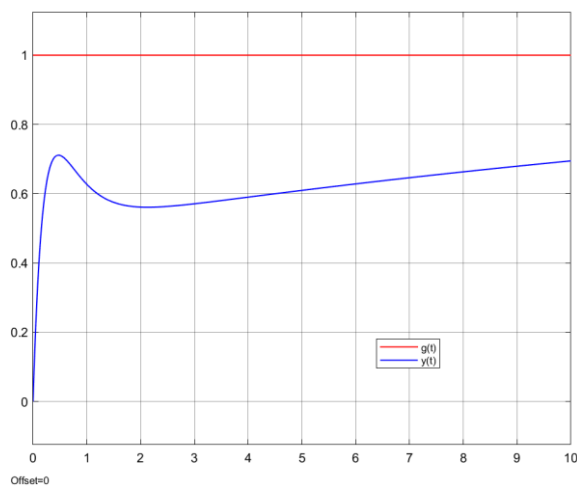


Рисунок 75. График входа и выхода при $k_1=5$, $k_2=0,5$

$$e = \lim_{s \rightarrow 0} s \cdot E(s) = \lim_{s \rightarrow 0} \left(\frac{s^2 + 2s + 5}{5(1 + \frac{1}{s}) + 0,5(1 + s) + s^2 + 2s + 5} \right) = 0$$

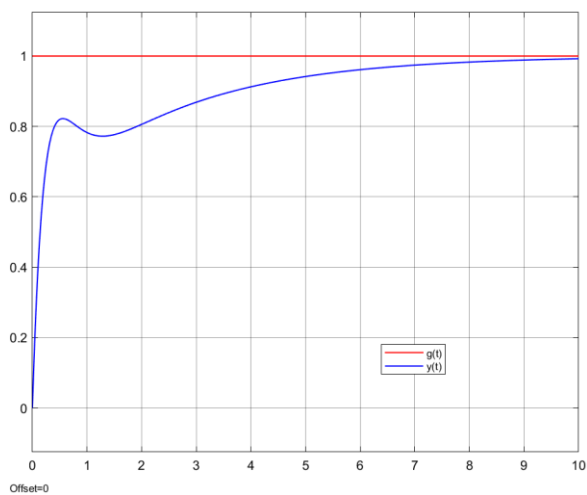


Рисунок 76. График входа и выхода при $k_1=5, k_2=5$

$$e = \lim_{s \rightarrow 0} s \cdot E(s) = \lim_{s \rightarrow 0} \left(\frac{s^2 + 2s + 5}{5(1 + \frac{1}{s}) + 5(1 + s) + s^2 + 2s + 5} \right) = 0$$

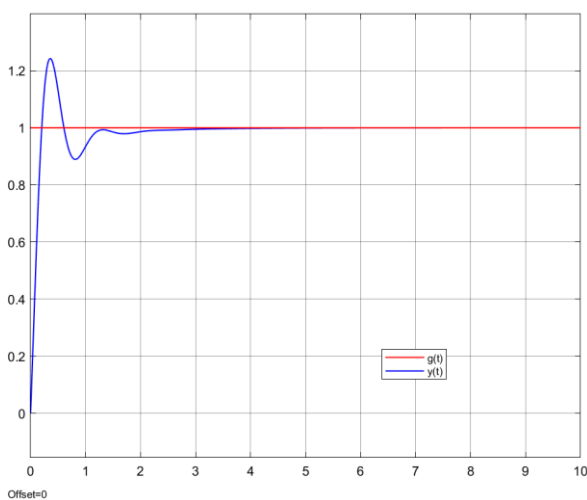


Рисунок 77. График входа и выхода при $k_1=5, k_2=50$

$$e = \lim_{s \rightarrow 0} s \cdot E(s) = \lim_{s \rightarrow 0} \left(\frac{s^2 + 2s + 5}{5(1 + \frac{1}{s}) + 50(1 + s) + s^2 + 2s + 5} \right) = 0$$

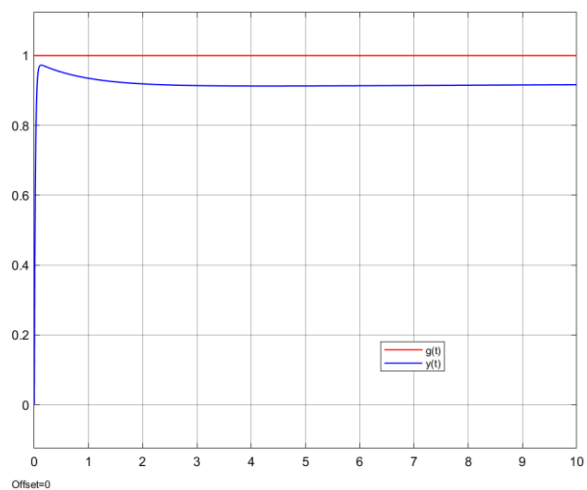


Рисунок 78. График входа и выхода при $k_1=50, k_2=0,5$

$$e = \lim_{s \rightarrow 0} s \cdot E(s) = \lim_{s \rightarrow 0} \left(\frac{s^2 + 2s + 5}{50(1 + \frac{1}{s}) + 0,5(1 + s) + s^2 + 2s + 5} \right) = 0$$

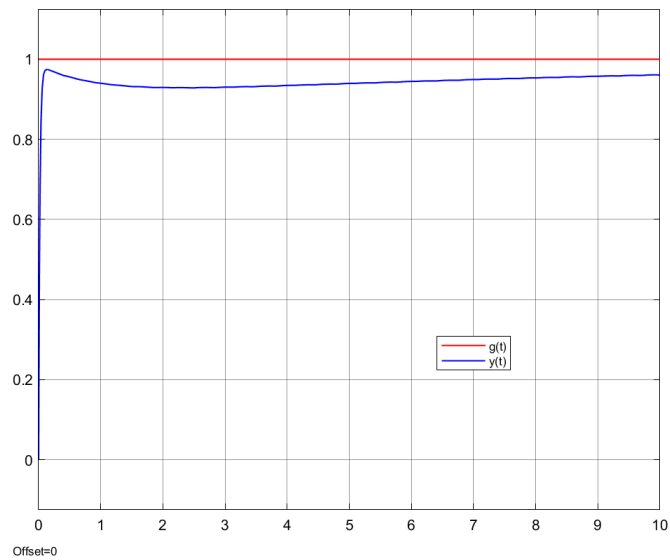


Рисунок 79.График входа и выхода при k1 =50, k2 =5

$$e = \lim_{s \rightarrow 0} s \cdot E(s) = \lim_{s \rightarrow 0} \left(\frac{s^2 + 2s + 5}{50(1 + \frac{1}{s}) + 5(1 + s) + s^2 + 2s + 5} \right) = 0$$

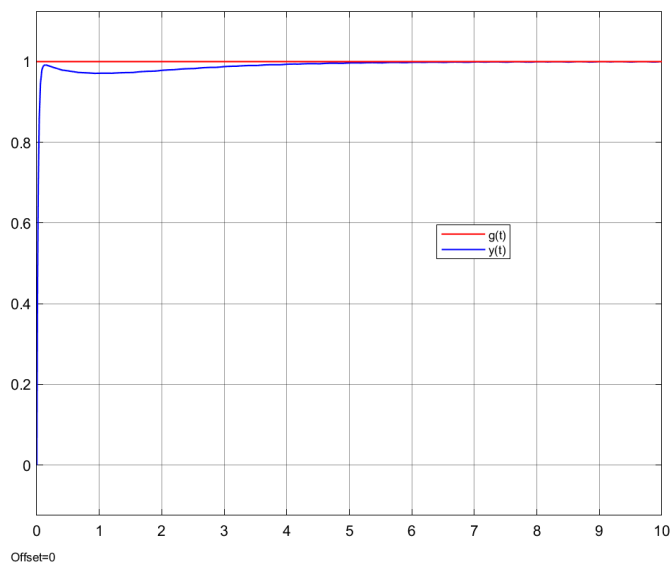


Рисунок 80. График входа и выхода при k1 =50, k2 =50

$$e = \lim_{s \rightarrow 0} s \cdot E(s) = \lim_{s \rightarrow 0} \left(\frac{s^2 + 2s + 5}{50(1 + \frac{1}{s}) + 50(1 + s) + s^2 + 2s + 5} \right) = 0$$

Исследуем поведение системы в установившемся режиме при задающем воздействии $g(t) = t + 1$:

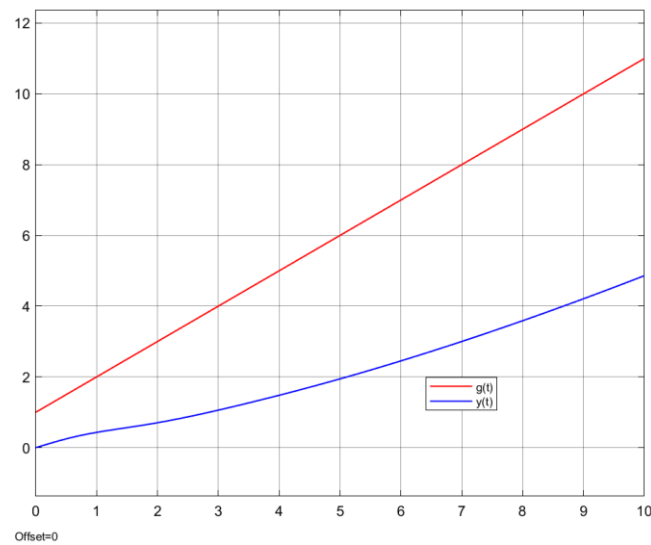
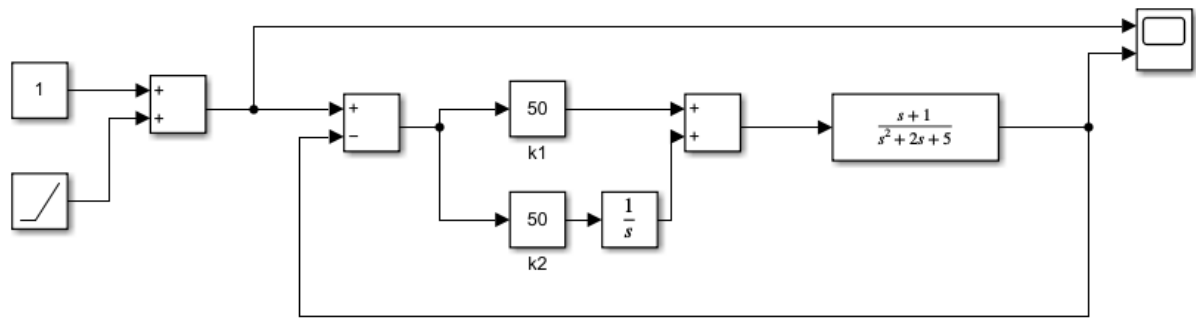


Рисунок 81. График входа и выхода при $k_1 = 0.5$, $k_2 = 0.5$

‘Для того, чтобы найти ошибку, находим образ Лапласа от $g(t)$, $G(s) = \frac{1+s}{s^2}$:

$$E(s) = W_{g \rightarrow e} \cdot G(s),$$

$$\text{где } W_{g \rightarrow e} = \frac{1}{W(s)+1} = \frac{s^2+2s+5}{0.5(1+\frac{1}{s})+0.5(1+s)+s^2+2s+5}$$

$$e = \lim_{s \rightarrow 0} s \cdot E(s) = \lim_{s \rightarrow 0} \left(\frac{s^2+2s+5}{0.5(1+\frac{1}{s})+0.5(1+s)+s^2+2s+5} \cdot \frac{1+s}{s} \right) =$$

$$\lim_{s \rightarrow 0} \left(\frac{s^2+2s+5+s^3+2s^2+5s}{0.5(s+1)+0.5(s+s^2)+s^3+2s^2+5s} \right) = \frac{5}{0.5} = 10$$

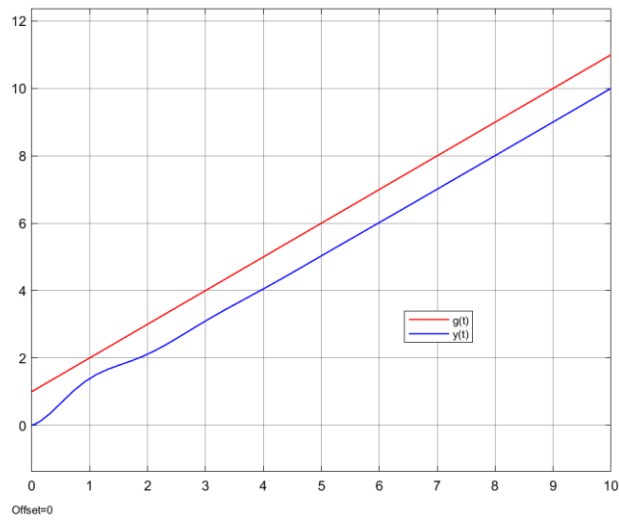


Рисунок 82. График входа и выхода при $k_1=0.5$, $k_2=5$

$$e = \lim_{s \rightarrow 0} s \cdot E(s) = \lim_{s \rightarrow 0} \left(\frac{s^2 + 2s + 5 + s^3 + 2s^2 + 5s}{0.5(s+1) + 5(s+s^2) + s^3 + 2s^2 + 5s} \right) = \frac{5}{0.5} = 10$$

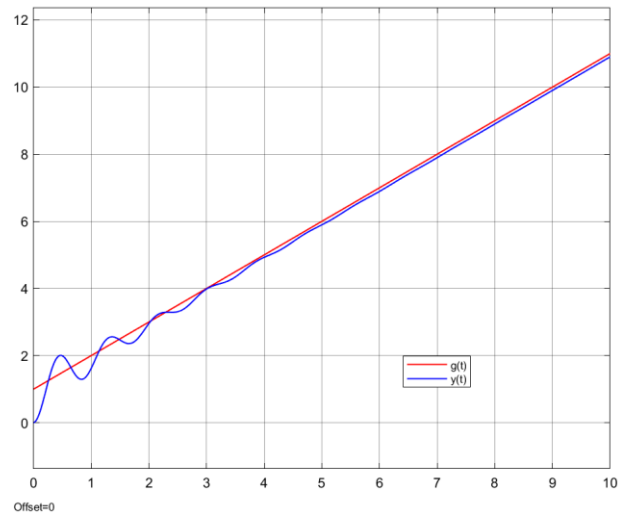


Рисунок 83. График входа и выхода при $k_1=0.5$, $k_2=50$

$$e = \lim_{s \rightarrow 0} s \cdot E(s) = \lim_{s \rightarrow 0} \left(\frac{s^2 + 2s + 5 + s^3 + 2s^2 + 5s}{0.5(s+1) + 50(s+s^2) + s^3 + 2s^2 + 5s} \right) = \frac{5}{0.5} = 10$$

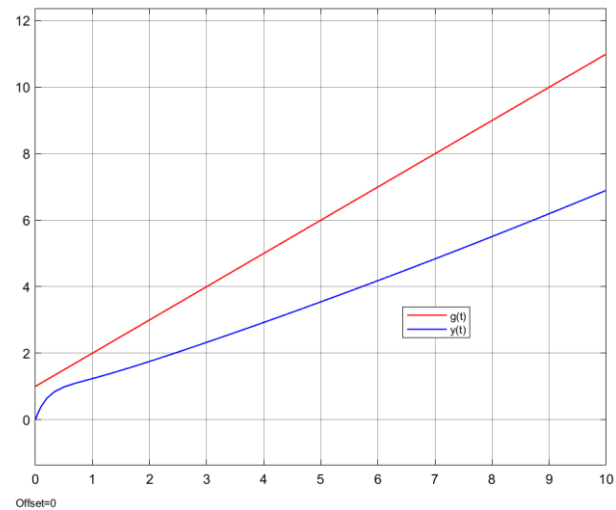


Рисунок 84. График входа и выхода при $k_1=5$, $k_2=0.5$

$$e = \lim_{s \rightarrow 0} s \cdot E(s) = \lim_{s \rightarrow 0} \left(\frac{s^2 + 2s + 5 + s^3 + 2s^2 + 5s}{5(s+1) + 0.5(s+s^2) + s^3 + 2s^2 + 5s} \right) = \frac{5}{5} = 1$$

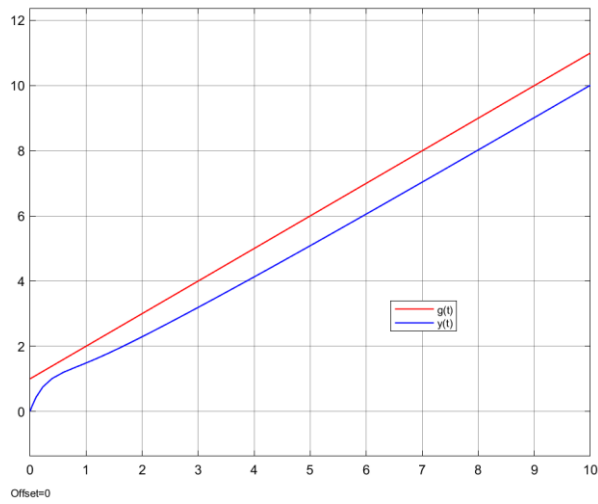


Рисунок 85. График входа и выхода при $k_1=5$, $k_2=5$

$$e = \lim_{s \rightarrow 0} s \cdot E(s) = \lim_{s \rightarrow 0} \left(\frac{s^2 + 2s + 5 + s^3 + 2s^2 + 5s}{5(s+1) + 5(s+s^2) + s^3 + 2s^2 + 5s} \right) = \frac{5}{5} = 1$$

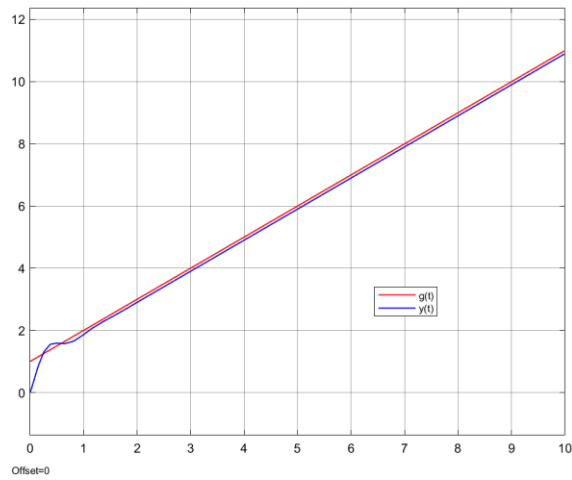


Рисунок 86. График входа и выхода при $k_1=5$, $k_2=50$

$$e = \lim_{s \rightarrow 0} s \cdot E(s) = \lim_{s \rightarrow 0} \left(\frac{s^2 + 2s + 5 + s^3 + 2s^2 + 5s}{5(s+1) + 50(s+s^2) + s^3 + 2s^2 + 5s} \right) = \frac{5}{5} = 1$$

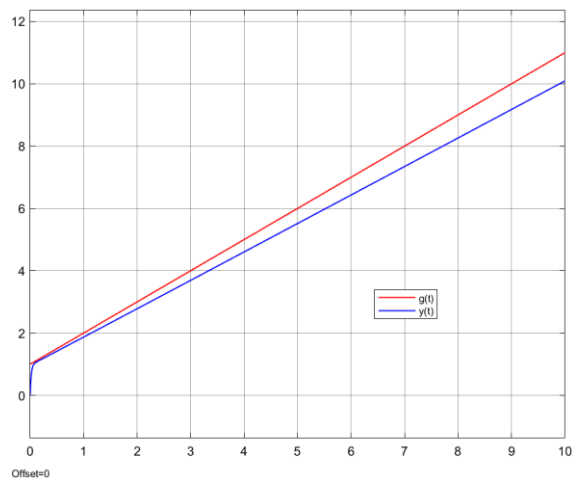


Рисунок 87. График входа и выхода при $k_1=50$, $k_2=0.5$

$$e = \lim_{s \rightarrow 0} s \cdot E(s) = \lim_{s \rightarrow 0} \left(\frac{s^2 + 2s + 5 + s^3 + 2s^2 + 5s}{50(s+1) + 0.5(s+s^2) + s^3 + 2s^2 + 5s} \right) = \frac{5}{50} = 0.1$$

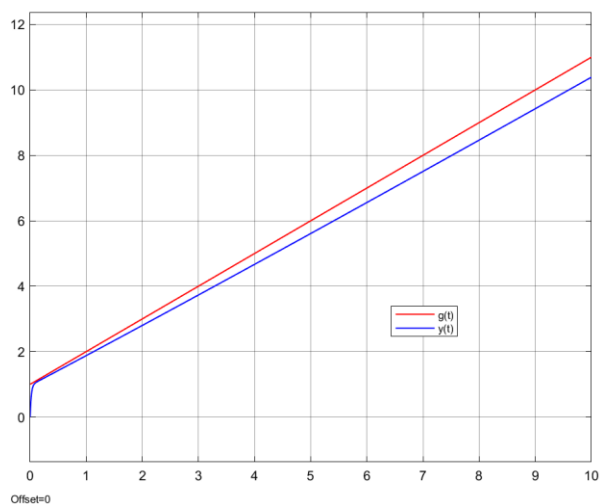


Рисунок 88. График входа и выхода при $k_1=50$, $k_2=5$

$$e = \lim_{s \rightarrow 0} s \cdot E(s) = \lim_{s \rightarrow 0} \left(\frac{s^2 + 2s + 5 + s^3 + 2s^2 + 5s}{50(s+1) + 5(s+s^2) + s^3 + 2s^2 + 5s} \right) = \frac{5}{50} = 0,1$$

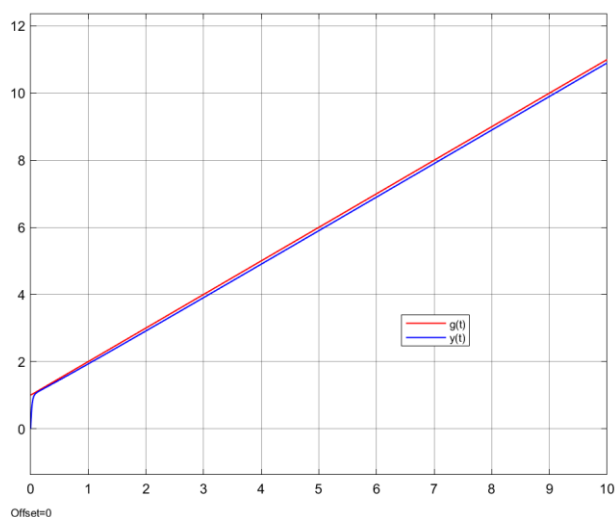


Рисунок 89. График входа и выхода при $k_1=50$, $k_2=50$

$$e = \lim_{s \rightarrow 0} s \cdot E(s) = \lim_{s \rightarrow 0} \left(\frac{s^2 + 2s + 5 + s^3 + 2s^2 + 5s}{50(s+1) + 50(s+s^2) + s^3 + 2s^2 + 5s} \right) = \frac{5}{50} = 0,1$$

Исследуем поведение системы в установившемся режиме при задающем воздействии $g(t) = 3 \cdot \sin(2t + 1)$:

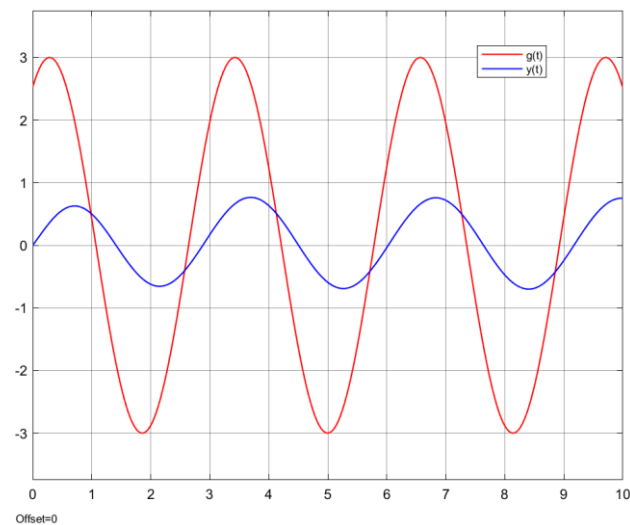
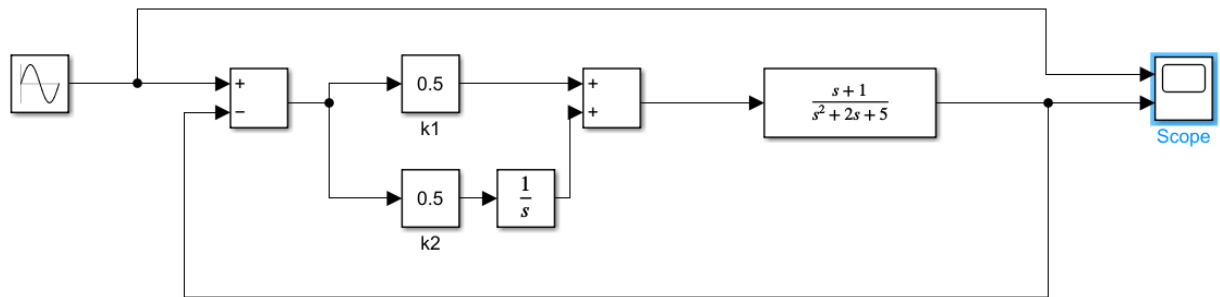


Рисунок 90. График входа и выхода при $k_1 = 0,5$, $k_2 = 0,5$

Находим ошибку:

$$G(s) = \frac{3(s \cdot \sin 1 + 2 \cdot \cos 1)}{s^2 + 4}$$

$$W_{g \rightarrow e} = \frac{1}{W(s) + 1} = \frac{s^2 + 2s + 5}{0.5(1 + \frac{1}{s}) + 0.5(1 + s) + s^2 + 2s + 5}$$

$$E(s) = W_{g \rightarrow e} \cdot G(s) = \frac{s^2 + 2s + 5}{0.5(1 + \frac{1}{s}) + 0.5(1 + s) + s^2 + 2s + 5} \cdot \frac{3(s \cdot \sin 1 + 2 \cdot \cos 1)}{s^2 + 4}$$

$$e = \lim_{s \rightarrow 0} s \cdot E(s) = \lim_{s \rightarrow 0} \left(\frac{s^2 + 2s + 5}{0.5(1 + \frac{1}{s}) + 0.5(1 + s) + s^2 + 2s + 5} \cdot \frac{3(s \cdot \sin 1 + 2 \cdot \cos 1)}{s^2 + 4} \cdot s \right)$$

$$e = \lim_{s \rightarrow 0} \left(\frac{s^2 + 2s + 5}{0.5(1 + \frac{1}{s}) + 0.5(1 + s) + s^2 + 2s + 5} \cdot \frac{3(s \cdot \sin 1 + 2 \cdot \cos 1)}{s^2 + 4} \cdot s \right)$$

$$= \lim_{s \rightarrow 0} \left(\frac{(s^2 + 2s + 5) \cdot 3s(s \cdot \sin 1 + 2 \cdot \cos 1)}{0.5s^2(1 + \frac{1}{s}) + 0.5s^2(1 + s) + s^4 + 2s^3 + 5s^2 + 4 \cdot (0.5(1 + \frac{1}{s}) + 0.5(1 + s) + s^2 + 2s + 5)} \right) = 0$$

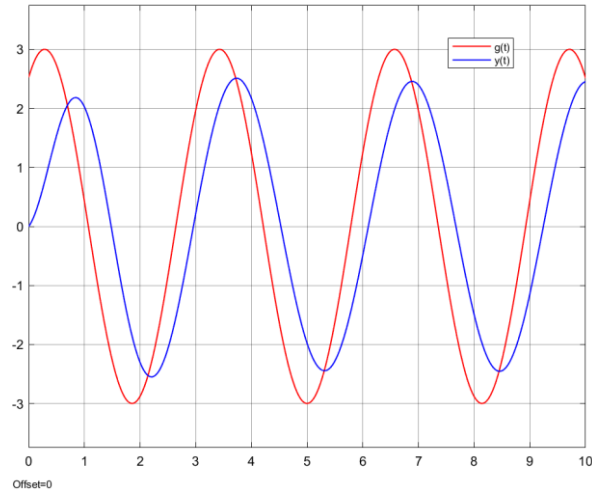


Рисунок 91. График входа и выхода при $k_1=0,5$, $k_2=5$

$$e = \lim_{s \rightarrow 0} s \cdot E(s) = \lim_{s \rightarrow 0} \left(\frac{s^2 + 2s + 5}{0.5(1 + \frac{1}{s}) + 5(1 + s) + s^2 + 2s + 5} \cdot \frac{3(s \cdot \sin 1 + 2 \cdot \cos 1)}{s^2 + 4} \cdot s \right) = 0$$

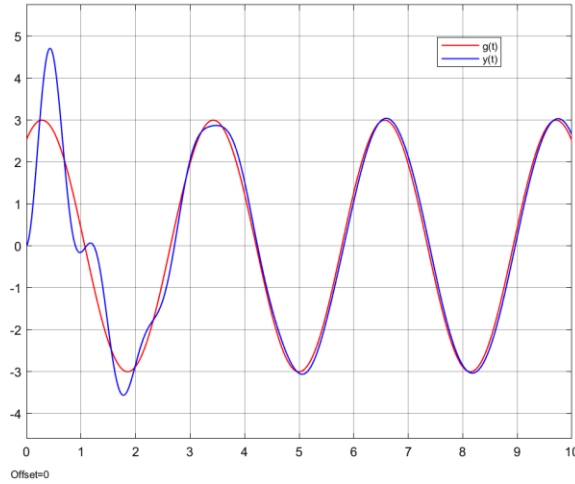


Рисунок 92. График входа и выхода при $k_1=0,5$, $k_2=50$

$$e = \lim_{s \rightarrow 0} s \cdot E(s) = \lim_{s \rightarrow 0} \left(\frac{s^2 + 2s + 5}{0.5(1 + \frac{1}{s}) + 50(1 + s) + s^2 + 2s + 5} \cdot \frac{3(s \cdot \sin 1 + 2 \cdot \cos 1)}{s^2 + 4} \cdot s \right) = 0$$

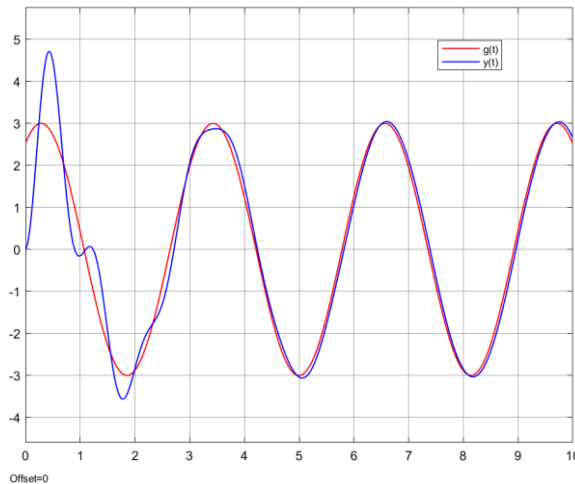


Рисунок 93. График входа и выхода при $k_1=5$, $k_2=0,5$

$$e = \lim_{s \rightarrow 0} s \cdot E(s) = \lim_{s \rightarrow 0} \left(\frac{s^2 + 2s + 5}{5(1 + \frac{1}{s}) + 0.5(1 + s) + s^2 + 2s + 5} \cdot \frac{3(s \cdot \sin 1 + 2 \cdot \cos 1)}{s^2 + 4} \cdot s \right) = 0$$

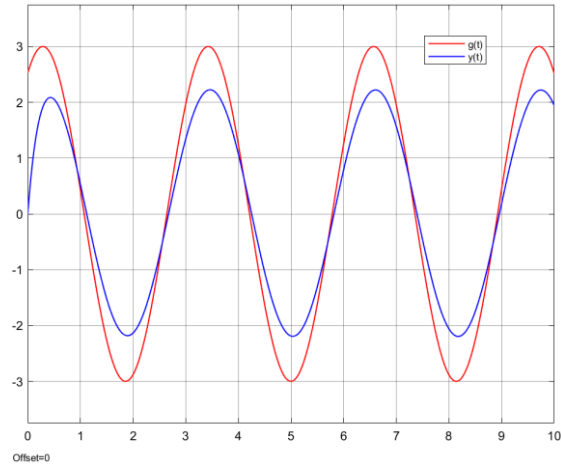


Рисунок 94. График входа и выхода при $k_1 = 5$, $k_2 = 5$

$$e = \lim_{s \rightarrow 0} s \cdot E(s) = \lim_{s \rightarrow 0} \left(\frac{s^2 + 2s + 5}{5(1 + \frac{1}{s}) + 5(1 + s) + s^2 + 2s + 5} \cdot \frac{3(s \cdot \sin 1 + 2 \cdot \cos 1)}{s^2 + 4} \cdot s \right) = 0$$

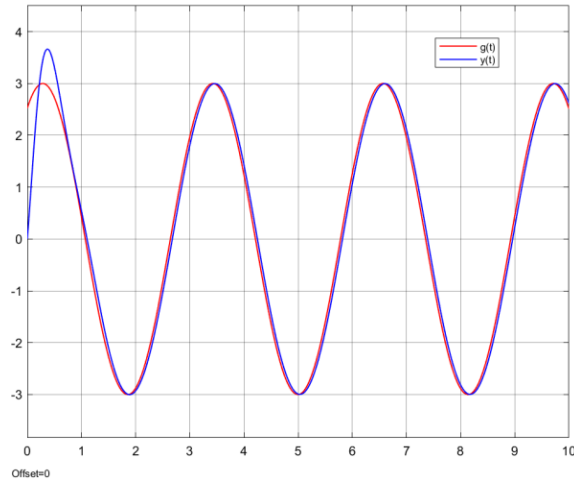


Рисунок 95. График входа и выхода при $k_1 = 5$, $k_2 = 50$

$$e = \lim_{s \rightarrow 0} s \cdot E(s) = \lim_{s \rightarrow 0} \left(\frac{s^2 + 2s + 5}{5(1 + \frac{1}{s}) + 50(1 + s) + s^2 + 2s + 5} \cdot \frac{3(s \cdot \sin 1 + 2 \cdot \cos 1)}{s^2 + 4} \cdot s \right) = 0$$

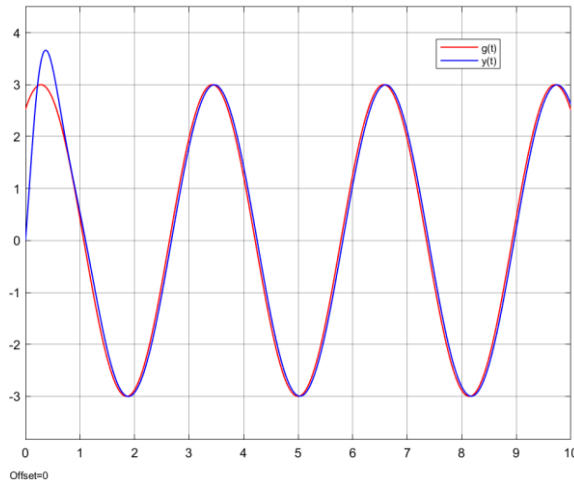


Рисунок 96. График входа и выхода при $k_1 = 50$, $k_2 = 0,5$

$$e = \lim_{s \rightarrow 0} s \cdot E(s) = \lim_{s \rightarrow 0} \left(\frac{s^2 + 2s + 5}{50(1 + \frac{1}{s}) + 0.5(1 + s) + s^2 + 2s + 5} \cdot \frac{3(s \cdot \sin 1 + 2 \cdot \cos 1)}{s^2 + 4} \cdot s \right) = 0$$

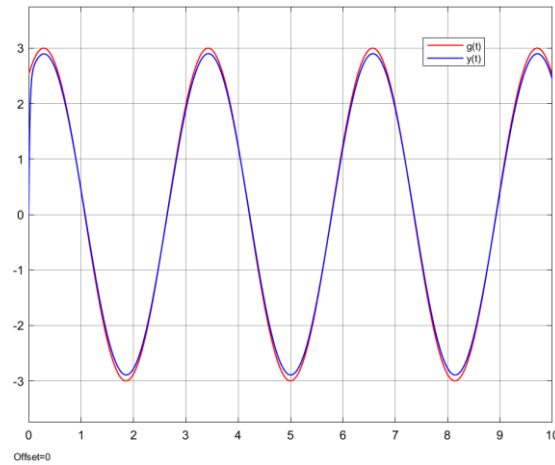


Рисунок 97. График входа и выхода при $k_1 = 50$, $k_2 = 5$

$$e = \lim_{s \rightarrow 0} s \cdot E(s) = \lim_{s \rightarrow 0} \left(\frac{s^2 + 2s + 5}{50(1 + \frac{1}{s}) + 5(1 + s) + s^2 + 2s + 5} \cdot \frac{3(s \cdot \sin 1 + 2 \cdot \cos 1)}{s^2 + 4} \cdot s \right) = 0$$

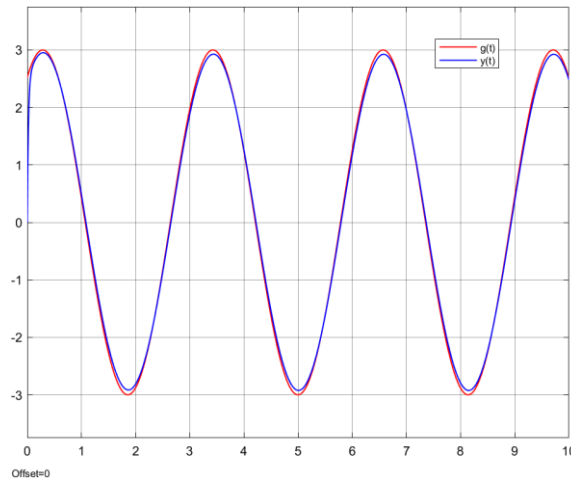


Рисунок 98. График входа и выхода при $k_1 = 50$, $k_2 = 50$

$$e = \lim_{s \rightarrow 0} s \cdot E(s) = \lim_{s \rightarrow 0} \left(\frac{s^2 + 2s + 5}{50(1 + \frac{1}{s}) + 50(1 + s) + s^2 + 2s + 5} \cdot \frac{3(s \cdot \sin 1 + 2 \cdot \cos 1)}{s^2 + 4} \cdot s \right) = 0$$

Вывод: в задании исследовали систему с астатизмом первого порядка. Анализируя графики при задающем воздействии $g(t) = 1$, видим, что при увеличении коэффициента k_2 , увеличиваются колебания графика выхода и быстрота приближения графика к $g(t)$. А изменение значения k_1 влияет на значение при t близкое к нулю: чем больше k_1 , тем ближе график выхода к $g(t)$. При задающем воздействии $g(t) = t + 1$, можем сделать аналогичные выводы, а также можно заметить, что ошибка зависит только от k_2 . При задающем воздействии $g(t) = 3 \cdot \sin(2t + 1)$ заметили, что при увеличении коэффициентов график выхода приближается к графику входа.

Задание 6. Исследование линейной системы, замкнутой регулятором общего вида.

Исследуйте и постройте модель тележки. В качестве управляющей переменной и примите горизонтальную силу, приложенную к тележке. Задающее воздействие будет описываться функцией $g(t) = \alpha \cdot \sin(\omega_1 t) \cdot \cos(\omega_2 t)$, $\omega_1 \neq \omega_2$. Придумайте такой регулятор общего вида, чтобы ошибка замкнутой системы сходилась к нулю.

Решение:

Пусть $\omega_1 = 1$, $\omega_2 = 2$, $\alpha = 3$, тогда задающее воздействие будет описываться функцией:

$$g(t) = 3 \cdot \sin(t) \cdot \cos(2t)$$

Далее определим передаточную функцию тележки, для этого найдем образ Лапласа от входа дифференциального уравнения тележки: $\ddot{y} = u$. Следовательно, $W = \frac{1}{s^2}$

Так как для нахождения регулятора общего вида необходимо придумать передаточную функцию передаточную функцию, чтобы знаменатель сократился со знаменателем образа Лапласа $g(t)$.

$$G(s) = \frac{3s^2 - 9}{(s^2 + 1)(s^2 + 9)}$$

```
syms s t;
g = 3*sin(t)*cos(2*t)%задающее воздействие
W=1/s^2 %передаточная функция
[N, D]=numden(W)
[Ng,Dg]=numden(laplace(g))% находим образ Лапласа от входа и разделяем на чилитель и знаменатель

syms c c0
Dper=c*Dg*(s+c0)

syms c1 c2 c3 c4 c5 c6
Nper=c1*s^5+c2*s^4+c3*s^3+c4*s^2+c5*s+c6
pol=coeffs(Nper*N+Dper*D,s,"All")
needed_pol=coeffs((s+1)*(s+1)*(s+1)*(s+1)*(s+1)*(s+1),s,"All")
sol=solve(pol==needed_pol)

Nper_sol=sym2poly(subs(Nper,[c c0 c1 c2 c3 c4 c5 c6],[sol.c sol.c0 sol.c1 sol.c2 sol.c3 sol.c4, sol.c5 sol.c6]))
%sym2poly() - возвращает коэффициенты полинома
%subs() - заменяет коэффициенты
Dper_sol=sym2poly(subs(Dper,[c c0],[sol.c sol.c0]))
```

Рисунок 99. Программа из MATLAB

$$g = 3 \cos(2t) \sin(t)$$

$$W =$$

$$\frac{1}{s^2}$$

$$N = 1$$

$$D = s^2$$

$$Ng = 3s^2 - 9$$

$$Dg = (s^2 + 1)(s^2 + 9)$$

$$Dper = c(s^2 + 1)(s^2 + 9)(c_0 + s)$$

$$Nper = c_1 s^5 + c_2 s^4 + c_3 s^3 + c_4 s^2 + c_5 s + c_6$$

$$pol = (c \ c_0 \ 10c + c_1 \ c_2 + 10c c_0 \ 9c + c_3 \ c_4 + 9c c_0 \ c_5 \ c_6)$$

$$needed_pol = (1 \ 7 \ 21 \ 35 \ 35 \ 21 \ 7 \ 1)$$

sol = struct with fields:

$$c: 1$$

$$c0: 7$$

$$c1: 11$$

$$c2: -35$$

$$c3: 26$$

$$c4: -42$$

$$c5: 7$$

$$c6: 1$$

$$Nper_sol = 1 \times 6$$

$$\begin{matrix} 11 & -35 & 26 & -42 & 7 & 1 \end{matrix}$$

$$Dper_sol = 1 \times 6$$

$$\begin{matrix} 1 & 7 & 10 & 70 & 9 & 63 \end{matrix}$$

Рисунок 100. Результаты программы из MATLAB

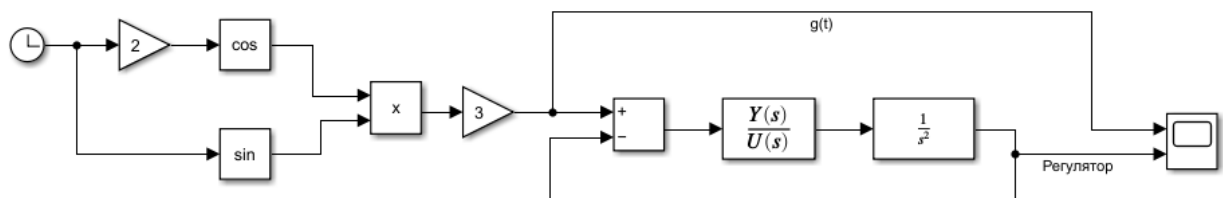


Рисунок 101. Схема моделирования

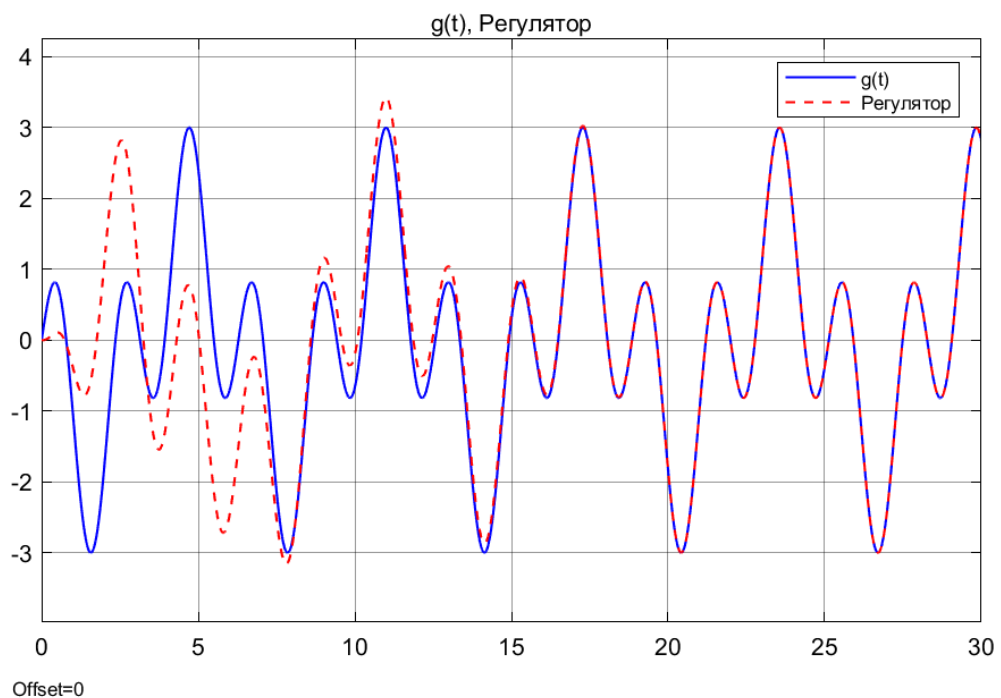


Рисунок 102. Графики зависимости входа и выхода при регуляторе общего вида

Вывод: анализируя Графики зависимости входа и выхода при регуляторе общего вида, можем заметить, что сначала ошибка большая, но через 15 с ошибка сходится к 0. Следовательно, мы определили передаточную функцию регулятора общего вида верно.